

Пријемач:	14. III. 1986		
Оријеја.	бр.	брзак	Вредност

УНИВЕРЗИТЕТ У НОВОМ САДУ

P R I R O D N O - M A T E M A T I Č K I F A K U L T E T

Diplomski rad:

ODREĐIVANJE MINIMALNE KONCENTRACIJE NEKIH ELEMENATA (Pb,  
Hg,Fe,Ba,Cd,Sr,Bi,Ni i Cu) U VODENIM RASTVORIMA, KOJI SE  
MOGU DETEKTOVATI METODOM RENDGENSKO-FLUORESCENTNE ANALIZE

Ranko Mišković  
Novi Sad, marta 1986.

Mentor  
Dr. Bela Ribar

Literaturu o problematici rendgensko-fluorescentne, sem diplomskih radova nekih studenata, nisam našao na srpsko-hrvatskom jeziku. Sem teksta unetog u ovaj rad veliki deo literature neophodne da se shvati ova problematika preveden je iz stranih referenci.

U teorijski deo diplomskog rada nisu unošene poznate fizičke zakonitosti i sadržaji, spoznati tokom redovnog školovanja, već sadržaji sa kojima sam se susreo prvi put i koji su vezani za problematiku rada. Zbog toga isti obuhvata samo 16 strana.

Umesto daljih žalopojki, želim da se najiskrenije zahvalim mentoru prof.dr. Beli Ribaru koji je vodeći me po ne baš poznatim mi stazama, svakodnevno mi pomagao u rešavanju teorijskih i praktičnih problema. Stvarno još jednom veliko mu hvala.

Neizmernu zahvalnost dugujem asistentu Željku Škrbiću, koji mi je svojom pomoći u razrešavanju svih iskrsnih problema i rutinom u eksperimentalnom vodjenju rada ulio potrebno poverenje i dao neophodnu samostalnost. U našem petomesecnom druženju preko mog diplomskog rada utrošio je zasada puno svog deficitarnog slobodnog vremena.

Redove ovakvog sadržaja sigurno ne bi pisao da nije bio dobronamerne kritike, opaski, bodrenja i podrške: mog oca; Ede Ljubibratića, bivšeg direktora ZAMS-a; dr Slobodana Carića; dr Darka Kapora i Petra Mišića, bivšeg sekretara Univerziteta u Novom Sadu. Mislim da je moja najveća zahvalnost ovim ljudima činjenica da sada pišem ove redove.

Bio bi nepravedan kada se najtoplije ne bi zahvalio nastavno-naučnom veću Instituta i svim njegovim profesorima, nastavnom veću i Savetu fakulteta kao i svojoj radnoj organizaciji - ZAMS-u i njegovim radnim ljudima.

Mišković Ranko

## S A D R Ž A J

1.PREDNOSTI,SLABOSTI I SPECIFIČNOSTI TEČNIH UZORAKA KOJI SE KORISTE U METODU RFA.....	1
1.1.Uvod .....	1
1.2.Prednosti tečnih uzoraka.....	1
1.3.Mane-slabosti tečnih uzoraka-.....	1
1.4.Specifičnosti tečnih uzoraka .....	2
1.5.Ćelije za tečne uzorke .....	3
2.IZVORI GREŠAKA U RFA,PROCENA METODA ANALIZE I IZBOR OPTIMALNIH USLOVA BROJANJA .....	3
2.1.Sistematske i slučajne greške u RFA .....	3
2.2.Veličine kojima se ocenjuje metod RFA .....	7
2.3.Osetljivost i postupak merenja .....	10
2.4.Neto intenziteti .....	12
2.5.Odnos intenziteta .....	14
3.E K S P E R I M E N T A L N I    R A D .....	17
3.1.Primer br.1 (Fe) .....	19
3.2.Primer br.2 (Ni) .....	25
3.3.Primer br.3 (Sr) .....	30
3.4.Primer br.4 (Ba) .....	34
3.5.Primer br.5 (Pb) .....	36
3.6.Metoda "standardne devijacije" .....	41
4.L I T E R A T U R A .....	50

## 1.PREDNOSTI,SLABOSTI I SPECIFIČNOSTI TEČNIH UZORAKA KOJI SE HORISTE U METODU RENDGENSKO-FLUORESCENTNE ANALIZE

### 1.1.Uvod

Tečni uzorci kao što su:vodeni rastvori;galvanske kupke; elektroliti;fiziološke tečnosti;rastvorena čvrsta tela,prah i delovi;rastvoreni topljeni proizvodi;biološki rastvori;emulzije i želei;koloidne disperzije u tečnosti;masti;tečne smole jonske izmene i drugi,često se direktno ispituju.U poredjenju sa čvrstim i praškastim uzorcima,rad sa tečnim uzorcima ima izvenskih prednosti,slabosti i specifičnosti.

### 1.2.Prednosti tečnih uzoraka

Prednosti tečnih uzoraka su:

-jednostavno pripremanje uzoraka za upoređivanje (standarda) sa željenim koncentracijama elemenata,

-razblaživanjem se mogu smanjiti efekti matrice i postići linearna zavisnost fluorescentnog intenziteta od koncentracije (u grubom približavanju optimalna je koncentracija od oko  $0,5\text{ g/l}$ )

-površinski efekti i uticaj veličine zrna se elemenišu,

-mogućnost primene unutrašnjih standarda,

-uzorci i standardi su izvanredno homogeni,

-matrica se uglavnom sastoји od elemenata koji imaju mali atomski broj,što doprinosi maloj apsorpciji i ne povećava analitne linije,

-niska apsorpcija matrica dovodi do velike prodornosti primarnog-ulaznog zraka i niske apsorpcije emitovane sekundarnom radijacijom i shodno tome visoke apsolutne senzitivnosti,

-izrada uzorka moguća je kod skoro svakog željenog elemenata i kombinacije koncentracija,

-čak i kada se uzorci analiziraju u drugoj formi,metoda rastvora (tečni uzorci) može biti korišćena u smislu standarda.

### 1.3.Mane-slabosti tečnih uzoraka

Mane-slabosti tečnih uzoraka su:

-pri razblaživanju,još više se smanjuje koncentracija elemenata koji su u prvočitnom materijalu za analizu bili prisutni samo u tragovima,

-vreme pripremanja se u nekim slučajevima produžava,

-analiza elemenata sa rednim brojem manjim od 20 je skupa ili nemoguća, jer zahteva snimanje u atmosferi helijuma,

-razredjivanjem se pogoršavaju merne granice kod određivanja malih sadržina,

-isparavanja rastvarača mogu se zapaziti u toku ozračenja, posebno kod isparljivih rastvarača i u vakum-spektrometru,

-komora uzorka, pisač, maska i pogoršavanje prozora berilijsma kod X-zraka cevi mogu biti podložni isticanju i korozivnim parama,

-tekućine mogu bitno odstraniti gas, poprskati ili prekinuti čelijске prozore kada se koriste u vakum-spektrometru,

-tekućine se mogu zagrevati produženim ozračivanjem prouzrokujući proširenje i zatvaranje čelija-bubrenje prozora čelije,

-zbog odstranjivanja gasova, zagrevanja i proširenja, ravni uzorci mogu se menjati u toku ozračivanja,

-neki uzorci podvrgnuti X-zracima podložni su raspadiма pod uticajem zračenja i taloženje se pojavljuje na prozori na površine uzorka, što se mora smatrati nepoželjnim kao i bilo kakvo drugo taloženje izazvano nekim drugim uzrokom,

-u zatvorenim čelijama formalna ekspanzija, pritisak pare i odstranjivanje gasova iz tekućina prouzrokuju naduvavanje čelijskih prozora.

#### 1.4. Specifičnosti tečnih uzoraka

Specifičnosti tečnih uzoraka su:

-upotreba kivete protočnog i zatvorenog tipa sa tankom folijom (0,01-0,02 mm) na prozoru,

-snimanje u vakumu može, usled promene pritiska izazvati pucajanje prozora kivete; zbog toga se uzorci koji sadrže luke elemente ( $Z < 20$ ) moraju snimati u atmosferi helijuma, što je navedeno i kao mana tečnih uzoraka,

-helijum može difundovati kroz prozor protočnog proporcionalnog brojača i izazvati promenu visine impulsa na izlazu,

-usled neznatne apsorpcije mase kod rastvora, mora se paziti na konstantnu debljinu-zapremINU sloja i reproduktivni položaj kivete sa uzorcima,

-za kivete treba odabrati optimalan materijal, koji je otporan na usuti rastvor i na rendgensko zračenje.

### 1.5. Ćelije za tekuće uzorke

Tela ćelija se po pravilu prave od aluminijuma, nerđajućeg čelika, čelika sa zlatnim plaštom, stakla i plastike (prozračnog polietilena, polipropilena, najlona i taflona). Milar vrlo tanka opna od polietilena koristi se kao opna za zatvorene ćelije. Ona je znatno stabilna u prisustvu organskih rastvarača, dok naglo gubi na kvalitetu u kontaktu sa jakim alkalnim tečnostima ( $pH > 10$ ). Milar ima najširu primenu kao film za ćelijske opne, iako ima viši sadržaj nečistoća od polipropilena u kome je trag istih potpuno distribuiran. Obe plastične kao i mnoge druge, imaju svojstvo apsorpcije jona metala i ispod intenzivne X-radijacije, aktuelno ih inkorporiraju u njihovu polimernu strukturu.

Od ćelija koje se koriste za analizu tekućih uzoraka poznate su: Somar "SPECTRO-CUP" ćelija, ćelija za upotrebu u vakumu, nepokrivena ćelija, zamrznuta probna ćelija, ćelija za degazacione rastvore i visokotemperaturna ćelija tečnog uzorka.

Birks je bio prvi koji je sugerisao da se neke tečnosti analiziraju u X-zračnom spektrometru u zamrznutom obliku: Sugestija je usledila nakon konstatacije da tečna voda na sobnoj temperaturi ima pritisak pare od  $\sim 17,5$  mmHg i apsorbuje  $\sim 58\%$  od  $MgK\alpha$  intenziteta na  $20$  cm puta, a led na  $-20^{\circ}C$  ima pritisak pare od  $< 1$  mmHg i apsorbuje samo  $\sim 4\%$   $MgK\alpha$  intenziteta.

## 2. IZVORI GREŠAKA U RFA, PROCENA METODA ANALIZE I IZBOR OPTIMALNIH USLOVA BROJANJA

### 2.1. Sistematske i slučajne greške u RFA

Sistematske greške, odnosno greške koje nastupaju jednostrano, iskrivljuju rezultat analize i utiču na njegovu tačnost. Faktori koji izazivaju sistematska odstupanja u RFA od stvarnih vrednosti su sledeći:

-greške u određivanju hemijskog sadržaja etalona,

-razlike u veličini zrna i stanju površine između etalonskog i analiziranog uzorka i

-uticaji efekta matrice.

Slučajne greške, odnosno greške koje ne utiču zakonito, čine rezultat nesigurnim i pogoršavaju reproduktivnost. Ove greške prouzrokuju sledeći faktori:

-statistika impulsa,

-nestabilnost primarnog intenziteta spektrometra i indikatorske elektronike,

-nepravilnost u pripremi uzorka i nedovoljna homogenost uzorka i

-nesigurnosti pri grafičkom određivanju intenziteta.

Za razliku od sistematskih odstupanja, slučajne greške se ne mogu potpuno eliminisati. Ipak, one se mogu za svaki analizirani problem minimizirati i uz pomoć statističkih metoda izraziti brojevima.

Iznalaženje slučajnih grešaka i ocena rezultata analize, mogući su metodama matematičke statistike. Skup svih mogućih mernih veličina, na primer brzina brojanja za određivanje nekog elementa u jednom uzorku, označava se kao osnovno mnoštvo. Ukoliko se za određivanje elementa sprovede n paralelnih određivanja, radi se, u statističkom smislu, o jednoj štih probi obima n. Ako je obim štih-probi dovoljno velik, mogu se merene veličine, saglasno učestalosti njihovih nastupanja poredati u grupe. Ovako se dobija jedna raspodela učestanosti koja se može opisati funkcijom gustine.

Kod metoda zasnovanih na brojanju, u koje spada i RFA, kao funkcija gustine važi tzv. POISSON-ova raspodela

$$y = \frac{\mu^x \cdot e^{-\mu}}{x!} \quad (2.1)$$

Ova funkcija gustine, okarakterisana je stvarnom vrednosti  $\mu$ , dok je odnos stvarne vrednosti  $\mu$  i stvarne standardne devijacije  $\delta$  dat sa:

$$\delta = \sqrt{\mu} \quad (2.2)$$

Značajno je napomenuti da se porastom vrednosti  $\mu$  ( $\mu > 15$ ), POISSON-ova raspodela prelazi u normalnu raspodelu.

Parametri normalne raspodele  $\mu$  i  $\delta$  mogu se proceniti štih probama obima n. Procenjene vrednosti označavaju se kao srednja vrednost  $\bar{x}$  (za parametar  $\mu$ ) i standardna devijacija S (za param.  $\delta$ )

$$\bar{X} = \frac{\sum X_i}{n} \quad (2.3)$$

$$S = \sqrt{\frac{\sum (X_i - \bar{X})^2}{n-1}} \quad (2.4)$$

Delenjem standardne devijacije S sa srednjom vrednošću  $\bar{X}$ , dolazimo do varijacionog koeficijenta V.

$$V = \frac{S}{\bar{X}} \text{ odnosno } V = \frac{S}{\bar{X}} \cdot 100\% \quad (2.5)$$

Brojne vrednosti standardne devijacije S ili varijacionog koeficijenta V, karakterišu slučajne greške metode analize.

Navodjenje slučajne greške za neku pojedinačnu vrednost, vrši se preko verovatnoće P (nazvane i "statistička sigurnost"). Navodjenjem slučajne greške, definiše se u kom se području sa velikom verovatnoćom mogu rasipati ponovo dobijene pojedinačne i srednje vrednosti (kvadrat srednje devijacije S označava se kao rasipanje). Kao verovatnoća P pokazala se u praksi dovoljnom vrednost od 0,95 ( $\approx 95\%$ ). Područja pouzdanosti X (za pojedinačne vrednosti), odnosno  $\bar{X}$  (za srednje vrednosti) dobijaju se, pri poznatoj devijaciji S prema sledećim jednakostima:

$$x = S \cdot t(p, f) \quad (2.6)$$

$$\bar{x} = \frac{S \cdot t(p, f)}{\sqrt{n}} \quad (2.7)$$

$t(p, f)$  - tabelarna vrednost "studentske" raspodele, koja zavisi od verovatnoće P i broja stepeni slobode f.

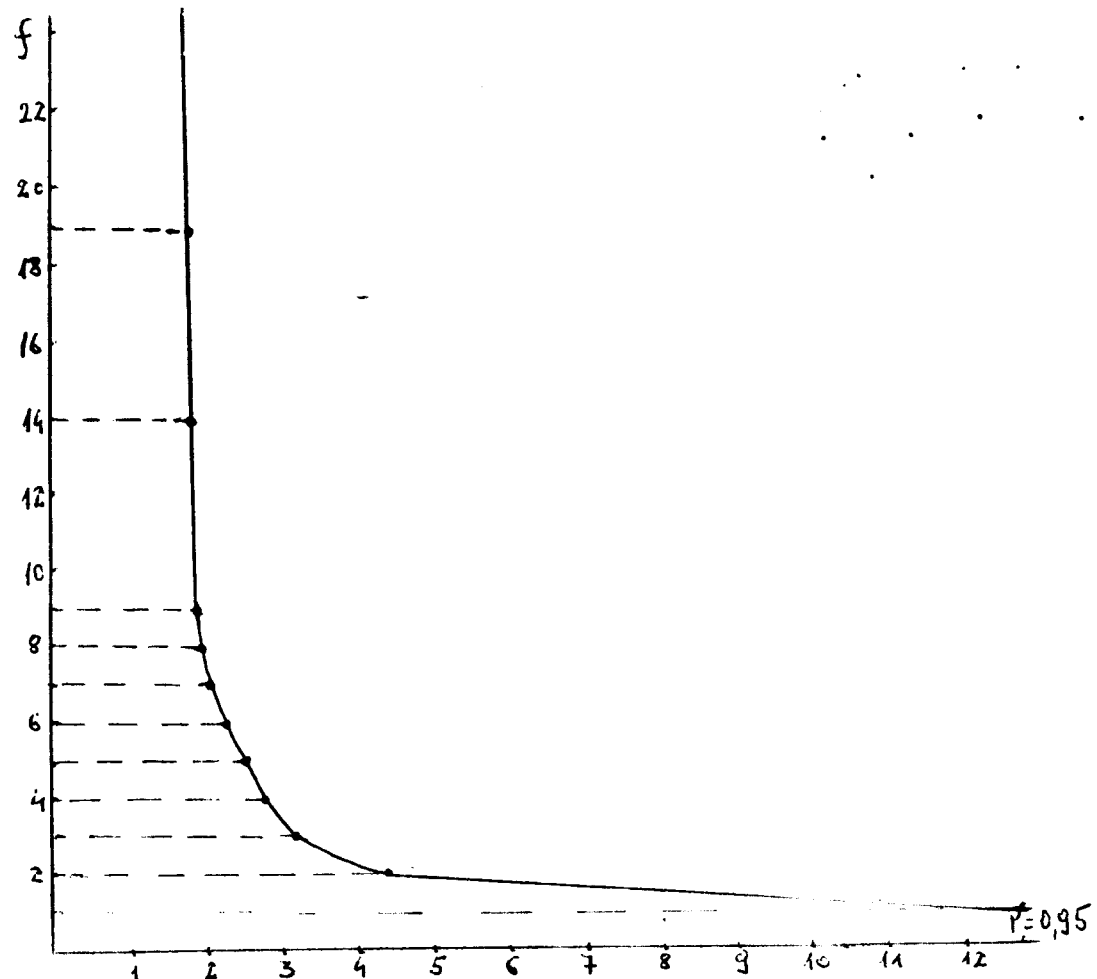
n - broj paralelnih određivanja (ukupno izvedenih merenja) za iznalaženje  $\bar{X}$ .

Broj stepeni slobode f koji se pojavljuju u ovim jednakostima dat je sa  $f = n - m$

U tabeli 2.1 dato je nekoliko vrednosti za integralne granice "studentske" raspodele. Vrednosti za integralne granice "studentske" raspodele date su u zavisnosti od izabrane verovatnoće P i raspoloživog stepena slobode f, što je prikazano i grafički na sl.2.2.

	P=0,683	P=0,95	P=0,99	P=0,9973
f=1	1,80	12,70	64	235
2	1,32	4,30	9,90	19,20
3	1,20	3,18	5,80	9,20
4	1,15	2,78	4,60	6,60
5	1,11	2,57	4,00	5,50
6	1,09	2,45	3,70	4,90
7	1,08	2,37	3,50	4,50
8	1,07	2,30	3,40	4,30
9	1,06	2,26	3,20	4,10
14	1,03	2,13	3,00	3,60
19	1,03	2,09	2,80	3,40
29	1,02	2,04	2,80	3,30
49	1,01	2,01	2,70	3,20
99	1,00	1,98	2,60	3,10
199	1,00	1,97	2,60	3,00
$\infty$	1,00	1,96	2,58	3,00

tabela 2.1



slika 2.2

Ilustrujmo sada na jednom primeru nalaženje veličina koje smo do sada upoznali.

Primer 2.1

Iz 15 paralelnih odredjivanja jednog uzorka, iznadjeno je prema relacijama (2.3), odnosno (2.4) da je, srednja vrednost  $\bar{X}=1,50$  i standardna devijacija  $S=0,025$ . Iz ovih vrednosti za  $\bar{X}$  i  $S$ , a prema relaciji (2.5) za varijacioni koeficijent dobijamo vrednost  $V=1,67\%$ .

Iznalaženje područja pouzdanosti, egzaktno je moguće samo za srednju vrednost  $\bar{X}$ , pa se za  $t(p,f)=t(0,95;14)=2,14$  na osnovu relacije (2.7) dobija

$$\Delta \bar{X} = \frac{0,025 \cdot 2,14}{\sqrt{15}} = 0,014\%$$

Prema tome, rezultat merenja glasi  $\bar{X} \pm \Delta \bar{X} = 1,50 \pm 0,014\%$ .

2.2 Veličine kojima se ocenjuje metod RFA

Sledeća izvodjenja odnose se na naznačavanje veličina za ocenjivanje, koje se mogu dobiti merenjem, odnosno obradom podataka merenja. Te veličine su standardna devijacija i granica odredljivosti kao i podaci o potrebnom vremenu, utrošku rada za jedan metod rendgenske spektrometrije i brojna vrednost osjetljivosti  $\Delta R/\Delta C$ .

Između koncentracije  $C$  i intenziteta  $I$  postoji zavisnost oblika  $C=f(I)$ .

U praksi se postupa tako što se najpre određuje funkcija  $f(I)$  uzorka poznatog sastava (baždarenje), a zatim iz izmerenih intenziteta i na osnovu ove funkcije sprovede izračunavanje vrednosti koncentracija nepoznatog uzorka.

Standardna devijacija metoda mora zbog toga sadržati slučajne greške, kako baždarenja, tako i odredjivanja vrednosti koncentracije nepoznatih uzoraka.

Radi jednostavnog operisanja predlaže se da se standardna devijacija metoda  $\bar{s}$  odredi samo iz ostatka disperzije  $\bar{s}^2$  prema relaciji:

$$\bar{s}^2 = \frac{\sum (C_i - \bar{C})^2}{n-p} \quad (2.8)$$

Ci-koncentracija etalonskih uzoraka;

Ci-koncentracija etalonskih uzoraka dobijene korekcionim računom;

n-broj primenjenih etalonskih uzoraka;

p-broj koeficijenata funkcije baždarenja.

Ostatkom disperzije  $s^2$  obuhvataju se kako slučajne tako i sistematske greške:

- statističko kolebanje impulsa,
- nepravilnost preparacije uzoraka,
- slučajne greške pri hemijskoj analizi etalonskih uzoraka,
- nekorigovani uticaji matrice i
- nestabilnost intenziteta pobuđenog primarnog zračenja.

Da bi se podatak o ostatku disperzije mogao učiniti potredivim, potrebno je poznavanje primenjene funkcije za izračunavanje (broj i vrsta koeficijenta) i broj etalonskih uzoraka koji stoje na raspolaganju za baždarenje.

### Primer 2.2

Kao primer za izučavanje ovih vrednosti uzimamo merenje intenziteta I jednog elementa u 10 etalonskih uzoraka:

koncentracija c,%	intenzitet I,Imp/s	koncentracija c,%	intenzitet I,Imp/s
0,57	404	1,58	939
1,15	735	5,00	2748
0,35	241	0,89	494
0,16	124	0,51	370
0,89	579	0,31	199

Ovde kao kontrolna funkcija služi izraz  $c = a_0 + a_1 \cdot I$ , gde je

$$a_1 = \frac{m \sum I \cdot c - \sum I \cdot \sum c}{m \cdot \sum I^2 - (\sum I)^2} = \frac{10 \cdot 17608,7 - 6833 \cdot 11,41}{10 \cdot 9965901 - 46689889} = 1,85 \cdot 10^{-3}$$

$$a_0 = \frac{\sum c - a_1 \sum I}{m} = \frac{11,41 - 1,85 \cdot 10^{-3} \cdot 6833}{10} = -0,12$$

$$\bar{s}^2 = \frac{\sum c^2 - a_1 \sum c - a_1 \sum I \cdot c}{m-2} = \frac{31,23 + 0,12 \cdot 11,41 - 1,58 \cdot 10^3 \cdot 17508,7}{10-2} = 0,0254$$

$$\bar{s} = 0,16$$

Pomoću računara, programski ove veličine su proverene sa datim koncentracijama i intenzitetima.

Standardna devijacija metoda  $\bar{s}$  odredjena je sa 0,16%.

Izračunavanje varijacionog koeficijenta prema jednačini (2.5) daje vrednost od 14,4%. Ovde je za  $X$  uzeta srednja koncentracija svih etalonskih uzoraka.

U području manjih koncentracija znatno je teže razlikovati intenzitet jednog elementa od opšteg fona intenziteta. Granica odredljivosti često se pogrešno izjednačava sa granicom osetljivosti. Isto tako, u stručnoj literaturi postoje veoma različiti podaci za donju granicu koncentracije metoda analize (G.Gottschelh Z.anal.chem 1975 br.275 i 276). U području manjih koncentracija važi predpostavka jedne linearne regresivne funkcije. Kao uslov za jednu "signifikantnu" razliku izmedju vrednosti merenja uzorka I i vrednosti opšteg fona  $I_u$ , važi prema PLESCH-u, relacija:

$$I - I_u > t_1(\bar{P}, f) \cdot S_I + t_2(\bar{P}, f) \cdot S_u \quad (2.9)$$

$S_I$  - standardna devijacija vrednosti merenja uzorka na graniči odredljivosti,

$S_u$  - standardna devijacija vrednosti merenja opšteg fona i  $t_1(\bar{P}, f), t_2(\bar{P}, f)$  - tabelarne vrednosti "studentske" raspodele.

Iz jednačine (2.9) dobija se granica odredljivosti, množenjem sa osetljivosti  $a_1$  regresivne prave. Za  $a_1 \cdot S_I$  i  $a_1 \cdot S_u$  može se približno primeniti  $\bar{s}$  prema jednačini (2.8). Ako se, pred toga predpostavi da će pri izboru jednakih verovatnoća  $\bar{P}$  biti  $t_1(\bar{P}, f) = t_2(\bar{P}, f)$ , tada se za približno iznalaženje granice odredljivosti može navesti sledeća jednačina:

$$c_b = 2 \cdot t(\bar{P}, f) \cdot \bar{s} \quad (2.10)$$

Jednačina (2.10) ne zahteva dodatno merenje opšteg fona, jer standardna devijacija  $\bar{s}$  sadrži strategiju merenja.

Iznalaženje granice odredljivosti predstavlja jedan mi-

nimalan broj etalonskih uzoraka pošto vrednost  $t(\bar{P}, f)$  naglo raste sa opadanjem broja uzoraka, odnosno stepeni slobode.

Primer 2.3

Koristeći podatke merenja intenziteta I jednog elementa u 10 etalonskih uzoraka (iz primera 2.2) i podatke iz tabele 2.1, za granicu odredljivosti dobijamo sledeću vrednost:

$$\bar{s}=0,16$$

$$f=8$$

$$t(\bar{P}, f)=t(0,95, 8)=2,30$$

Prema jednačini (2.10) kao granica odredljivosti metoda dobija se:

$$c_b = 2 \cdot 2,30 \cdot 0,16 = 0,74\%$$

2.3 Osetljivost i postupak merenja

Pod pojmom osetljivosti podrazumeva se nagib kalibracionih pravih  $C=a_0 + a_1 \cdot I$  za jedan element pri datom kvalitetu uzorka. Kao mera osetljivosti važi promena iznosa impulsa  $\Delta R$  prema promeni koncentracije  $\Delta C$ .

Pri merenju sa predhodnim izborom vremena, broj se impulsi koji se javljaju u vremenu t. Broj impulsa N služi za dalje vrednovanje. U mnogim slučajevima radi se sa iznosom impulsa uzmajući u obzir vreme merenja t.

$$R = \frac{N}{t} \text{ imp/s} \quad (2.11)$$

Pri merenju sa predhodnim izborom broja impulsa, impulsi se broje sve dok se ne dostigne predhodno odabran broj impulsa N. Potrebno vreme za ovo odbrojavanje t i broj impulsa N koriste se za dalje vrednovanje.

$$T = \frac{t}{N} \text{ s/imp} \quad (2.12)$$

Sledeća tabela 2.2 sadrži korišćene veličine izmerene RFA i standardne devijacije brutointenziteta koji proizilaze iz statistike impulsa.

Koeficijenti varijacije daju se za sve merne veličine jednoobrazno, po obrascu:

$$V_{N, R, T} = \sqrt{\frac{1}{N}} \cdot 100\% \quad (2.13)$$

Predhodno izabrana veličina	Merenja veličina	Standardna devijacija S
vreme	broj imp.N iznos $\frac{\text{imp}}{\text{min}}$ R	$S_N = \sqrt{N}$ $S_R = \sqrt{\frac{N}{t}}$ (brzina imp.)
broj impulsa	izmereno vrem. t za N impulsa	$S_T = \frac{T}{\sqrt{N}}$

tabela 2.2

Primer 2.4

Tokom merenja od  $t=10$ s,dobija se broj impulsa  $N=4.000$ .Uvrštavanjem u jednačinu (2.2)  $\mu=N=4.000$ ,umesto  $\delta$ ,sa standardnom devijacijom  $S_N$  za broj impulsa N,izračunava se

$$S_N = \sqrt{4.000} = 63 \text{ imp.}$$

Iznosi da je iznos (brzina) impulsa  $R=400 \text{imp/s}$

Standardna devijacija brzine impulsa izračunava se

$$S_R = \frac{\sqrt{4000}}{10} = 6,3 \text{imp/s}$$

Ukoliko se broj impulsa od 4.000 predhodno zada,a vreme merenja t treba da se odredi,dobija se iznos vremena potrebnog po impulsu

$$T = \frac{10}{\sqrt{4000}} = 0,0025 \text{ s/imp}$$

Standardna devijacija za ovu veličinu iznosi

$$S_T = \frac{0,0025}{\sqrt{4000}} = 3,95 \cdot 10^{-5} \text{ s/imp.}$$

Koeficijenti varijacije,slažu se prema jednačini (2.13) i iznose 1,58%.

$$V_N = \frac{63}{4000} \cdot 100\% = 1,58\%; \quad V_R = \frac{6,3}{400} \cdot 100\% = 1,58\%; \quad V_T = \frac{3,95 \cdot 10^{-5}}{2,5 \cdot 10^{-3}} \cdot 100\% = 1,58\%$$

Na primer,10.000 impulsa je dovoljno da se postigne koeficijente

nat varijacije od 1%; dalji porast broja impulsa N vodi sve manjim vrednostima koeficijenta varijacije.

Ovo ipak, uopšte gledano, nema praktičnu vrednost za pokušaj daljeg snižavanja statistički određenih koeficijenata varijacije, produžavanjem vremena odbrojavanja, jer zbog udela slučajnih grešaka koje potiču od pripreme uzorka, samog apara-ta i kalibracionih uzoraka, dolazi do prepokrivanja. U konkretnom slučaju mora se oceniti da li ekstremno sniženje statističkih grešaka impulsa ima smisla.

#### 2.4 Neto intenziteti

Neto intenziteti se koriste, uopšte uzev, onda kada intenzitet fona neposredno utiče u vidu smetnje na rezultat analize. U takvim slučajevima, izmereni bruto intenzitet treba umanjiti za iznos intenziteta fona.

Za izvodjenja koja slede predpostavljeno je da su intenziteti fona određeni samo jednim merenjem.

Jednačine koje se koriste za opisivanje standardne devijacije, koeficijenta varijacije i udela vremena merenja, bivaju razjašnjene primenom fizine impulsa R. Analogno je i za druge merne veličine N i T. Za razliku u intenzitetima, prema zakonu fizine širenja greške, sledi da je standardna devijacija

$$s_R = \sqrt{\frac{R_B}{t_B} + \frac{R_U}{t_U}} \quad (2.14)$$

$R_B$  - iznos bruto impulsa,

$R_U$  - iznos impulsa fona,

$t_B$  - vreme odbrojavanja bruto impulsa i

$t_U$  - vreme odbrojavanja impulsa fona.

Koeficijent varijacije dat je relacijom

$$v_R = \frac{\sqrt{\frac{R_B}{t_B} + \frac{R_U}{t_U}}}{\frac{R_B - R_U}{R_B + R_U}} \quad (2.15)$$

Kada se vreme odbrojavanja  $t_B$  i  $t_U$  odaberu u odnosu

$$\frac{t_B}{t_U} = \sqrt{\frac{R_B}{R_U}} \quad (2.16)$$

sledi minimiziranje statističke greške impulsa.

Kako je intenzitet fona uopšte mali prema bruto intenzitetu, izlazi da je pri merenju sa predhodnim izborom vremena, pri istom vremenu merenja bruto intenziteta i intenziteta fona, veća statistička greška merenja nego pri optimalnom odnosu vremena odbrojavanja.

Merenje sa predhodnim izborom broja impulsa nije optimalno u odnosu na standardnu devijaciju jer se bruto intenzitet meri tokom kraćeg, a intenzitet fona tokom dužeg perioda.

U skladu sa (2.6), za standardnu devijaciju važi:

$$S_{R,op} < S_{R,t} < S_{R,imp}$$

$S_{R,op}$  - standardna devijacija za brzinu impulsa pri optimalnom odnosu vremena odbrojavanja,

$S_{R,t}$  - standardna devijacija za brzinu impulsa pri merenju sa predhodnim izborom vremena,

$S_{R,imp}$  - standardna devijacija za brzinu impulsa pri merenju sa predhodnim izborom broja impulsa.

### Primer 2.5

Ilustrujmo to sledećim primerom.

Tokom RFA merenja dobijene su sledeće vrednosti

$$R_B = 500 \text{ imp/s}, \quad R_U = 10 \text{ imp/s}, \quad t_B = 10 \text{ s}, \quad t_U = 10 \text{ s}$$

Optimalan odnos vremena odbrojavanja po jednačini (2.16), iznosi

$$\frac{t_B}{t_U} = \sqrt{\frac{500}{10}} = 7,07$$

Otuda sledi da se za ukupno vreme od 20 s dobija  $t_B = 17,52 \text{ s}$  i  $t_U = 2,48 \text{ s}$ .

Standardne devijacije iznose za

a) optimalni odnos vremena odbrojavanja

$$S_{R,op} = \sqrt{\frac{500}{17,52} + \frac{10}{2,48}} = 5,71 \text{ imp/s}$$

b) merenja sa predhodnim izborom vremena

$$S_{R,t} = \sqrt{\frac{500}{10} + \frac{10}{10}} = 7,14 \text{ imp/s}$$

c) merenje sa predhodnim izborom broja impulsa ( $N_B = N_U$ )

Izračunavanje vremena odbrojavanja sledi jednačinu  $R_B \cdot t_B = R_U \cdot t_U$

$$t_B = 0,39 \text{ s}, t_U = 19,61 \text{ s}$$

$$S_{R,imp} = \sqrt{\frac{500}{0,39} + \frac{10}{19,61}} = 35,81 \text{ imp/s}$$

Rezultati potvrđuju izraz  $S_{R,op} < S_{R,t} < S_{R,imp}$

## 2.5 Odnos intenziteta

Ocenjivanje preko uvođenja kvocijenata smanjuje sistemske i slučajne greške. Pri tome se mere bruto ili neto intenziteti elementa koji se određuju i elementa-repera u istom uzorku (unutrašnji standard) ili elementa u uzorku-reperu (spoljašnji standard). Standardna devijacija kvocijenata bruto intenziteta po zakonu o brzini širenja greške iznosi:

$$S_R = \sqrt{\frac{R_1}{R_2^2 t_1} + \frac{R_1^2}{R_2^3 t_2}} \quad (2.17)$$

$R_1$  - iznos bruto intenziteta elementa koji se određuje,

$t_1$  - vreme odbrojavanja za element koji se određuje,

$R_2$  - iznos bruto intenziteta repernog elementa i

$t_2$  - vreme odbrojavanja za reperni element.

Koefficijent varijacije iznosi

$$v_R = \sqrt{\frac{1}{R_1 \cdot t_1} + \frac{1}{R_2 \cdot t_2}} \quad (2.18)$$

Sledi minimiziranje statističke greške impulsa, kada su vremena odbrojavanja  $t_1$  i  $t_2$  odabrana u sledećem odnosu:

$$\frac{t_1}{t_2} = \sqrt{\frac{R_2}{R_1}} \quad (2.19)$$

Pri merenju sa predhodnim izborom vremena (oba intenziteta merena u istom vremenskom intervalu) manji intenzitet se određuje sa manjom tačnošću. Statistička greška impulsa je veća nego pri održavanju optimalnog odnosa vremena merenja. Pri merenju sa predhodnim izborom broja impulsa sledi principijelno ispravna raspodela vremena odbrojavanja, mada vrednost kvocijenta izlazi previsoka, tako da je rezultujuća statistička greška impulsa opet veća nego pri optimalnoj raspodeli vremena merenja. Oba metoda daju veće vrednosti u odnosu na optimalnu raspodelu vremena merenja. Može se pokazati da je pri merenju odnosa intenziteta važeća relacija

$$S_{R,op} < S_{R,t} = S_{R,imp}$$

### Primer 2.6

Neka su tokom RFA merenja, dobijene sledeće vrednosti  $R_1 = 500 \text{ imp/s}$ ,  $R_2 = 10 \text{ imp/s}$ ,  $t_1 = 10 \text{ s}$ ,  $t_2 = 10 \text{ s}$

Optimalan odnos vremena odbrojavanja iznosi prema jednacini (2.19)

$$\frac{t_1}{t_2} \sqrt{\frac{10}{500}} = 0,14$$

Odavde sledi da pri ukupnom vremenu od 20 s,  $t_1$  i  $t_2$  imaju sledeće vrednosti:  $t_1 = 2,46 \text{ s}$  i  $t_2 = 17,54 \text{ s}$ .

Standardne devijacije iznose za

a) optimalan odnos vremena odbrojavanja

$$S_{R,op} = \sqrt{\frac{500}{10^2 2,46} + \frac{500^2}{10^3 17,54}} = 4,04 \text{ imp/s}$$

b) merenja sa predhodnim izborom vremena

$$S_{R,t} = \sqrt{\frac{500}{10^2 10} + \frac{500^2}{10^3 10}} = 5,05 \text{ imp/s}$$

c) merenje sa predhodnim izborom broja impulsa ( $N_1 = N_2$ )

$$S_{R,imp} = \sqrt{\frac{500}{10^2 0,39} + \frac{500^2}{10^3 10,61}} = 5,06 \text{ imp/s}$$

Izračunavanje vremena odbrojavanja vršeno je preko  $R_1 \cdot t_1 = R_2 \cdot t_2$ .

Ovde je izašlo za  $t_1 = 0,39$  s, a za  $t_2 = 19,61$  s.

Dobijeni rezultati potvrđuju izraz  $S_{R,op} < S_{R,t=0}$

EKSPERIMENTALNI RAD

---

Osnovni zadatak koji je bio postavljen, odnosio se na određivanje minimalne koncentracije nekih elemenata (Pb, Fe, Hg, Ba, Cd, Sr, Bi, Ni i Cu) u vodenim rastvorima, koji se mogu detektovati metodom rendgensko-fluorescentne analize. Ovaj zadatak realizovan je na potpuno automatizovanom RF analizatoru VRA-20. RF analizator spada u disperzionalne sekvencione (tj. jednokanalne) uređaje sa ravnim difrakcionim kristalom. Pobudjivanje na fluorescencije vrši se pomoću volframove rendgenske cevi sa vodenim hladjenjem. Visoki napon za napajanje X-cevi može se birati u opsegu od 0-75 kV u koracima od 1kV i 5kV. Struja cevi može se birati unutar opsega od 0-70 mA u koracima od 1mA i 5mA. Najpovoljniji odnos napona i struje za rad X-cevi je 2:1, pri čemu je napon izražen u kV, a struja u mA. Pri izboru napona i struje, mora se postepeno i naizmenično u određenim koracima povećavati vrednost napona i struje.

Analizator je opremljen sa 4 kristala: LiF(200), EDDT, ADP i KAP, koji se automatski izmjenjuju. Za potrebe ovog zadatka korišćen je litijum fluorid (LiF),  $2d=0,4028 \text{ nm}$ , ravan refleksije (200). Pri upotrebi ravni (200) LiF ima vrlo visoku efikasnost refleksije sa relativno dobrom rezolucijom. Ovaj kristal se najčešće koristi za sve elemente izmedju Z=20 (Ca) i Z=92 (U). Takodje, postoji mogućnost izmene kolimatora koji određuje upadni ugao fluorescentnog zračenja za difrakcioni kristal. Kolimatori (tri) sa kojima je uređaj snabdeven imaju uglove divergencije:  $0,15^\circ$ ;  $0,4^\circ$  i  $0,7^\circ$ . Uredaj je snabdeven sa dva detektora, scintilacionim NaJ(Tl) i protočnim proporcionalnim Ar/CH<sub>4</sub>, koji se u rad mogu uključivati pojedinačno i zajednički. Detektor se pri snimanju kreće po kružnici opisujući ugao jednak dvostrukom ugлу difrakcije ( $2\theta$ ) u intervalu  $2^\circ$ - $150^\circ$ , pri čemu je optimalna oblast za rad goniometra u intervalu  $10^\circ$ - $145^\circ$ . Moguće su 4 brzine snimanja, tj. detektor se može kretati sledećim ugajonim brzinama:  $0,25^\circ/\text{min}$ ;  $0,5^\circ/\text{min}$ ;  $1^\circ/\text{min}$  i  $2^\circ/\text{min}$ . Snimljeni spektar ispisuje se na pokretnoj traci pisača kao odbroj detektora u funkciji ugla njegovog skretanja. Osetljivost pisača, tj. odbroj detektora koji se na pisaču prikazuje kao maksimalni intenzitet, može se menjati u intervalu  $1 \cdot 10^1$ - $3 \cdot 10^5 \text{ imp/s}$ . Hartija se, isto tako

može se kretati različitim brzinama, rezavisno od brzine snimanja i osetljivosti pisača.

Snimanje fluorescentnog spektra može se vršiti u vakuumskom ili vazdušnom režimu rada. Pri postizanju dovoljnog vakuma u komori za uzorak, ujedno se vrši i odstranjivanje zaostale ili nakupljene vlage u uzorku ili eventualno sitnih kapljica iz držača tečnog uzorka. Uredjaj takođe raspolaže sa generatorom visokog napona, goniometarskim delom, elektronikom, pisačem i računarom marke Robotron KSR 4100, koji se koristi za kvantitativnu analizu. Uz kompjuter je spregnut i linijski teleprinter koji služi za ispisivanje podataka i rezultata analize, kao i za učitavanje potrebnih veličina.

Pre pristupanja konkretnom eksperimentalnom radu, trebalo se upoznati sa principom rada i osnovnim karakteristikama automatizovanog RF analizatora VRA-2C. Jedna od predhodnih radnji bila je priprema desitilovane vode, posuda, čaša i kiveta za pripremanje rastvora i slično. Drugi zadatak bio je da se u postojećim hemijskim tabelama pronađu jedinjenja zadanih elemenata koja su rastvorljiva u vodi pod određenim uslovima.

Od zadanih elemenata, u pomenutim tabelama pronašao sam sledeća njihova jedinjenja rastvorljiva u vodi:  $\text{Ni}(\text{NO}_3)_2 \cdot 6\text{H}_2\text{O}$ ;  $\text{BaCl}_2 \cdot 2\text{H}_2\text{O}$ ;  $\text{CuSO}_4 \cdot 5\text{H}_2\text{O}$ ;  $\text{Pb}(\text{NO}_3)_2$ ;  $\text{SrCl}_2 \cdot 6\text{H}_2\text{O}$ ;  $\text{Fe}(\text{NO}_3)_3 \cdot 9\text{H}_2\text{O}$ ; i  $\text{HgCl}_2$ . Sa druge strane, od bizmuntovih jedinjenja pronašao sam samo za bizmunt nitrat da je rastvorljiv u kiselini, a od kadmijumovih, kadmijum hlorid da je rastvorljiv u kiselini, alkoholu i acetonu. Navedenim jedinjenjima, sem živinog i strocijumovog koje sam obezbedio na Institutu za hemiju i katedri za biohemiju, raspolažala je RFA laboratoriјa.

Pripremanje standardnih rastvora, rastvora poznate koncentracije za svaki od navedenih elemenata odnosno njihovih jedinjenja bio je sledeći posao. Za pripremanje npr. 2% rastvora određenog elementa koji se nalazi u nekom jedinjenju potrebno je da izračunamo u kojoj se masi tog jedinjenja nalaze 2 gr. tog elementa, prema sledećoj relaciji:  $2:x = M_x : M_{xy}$  ( $M_x$  – molarna masa elementa, odnosno nje-

zovog jona, $M_{xy}$ -molarna masa jedinjenja). Dobijena masa u navedenom primeru predstavlja masu jedinjenja koju treba odmeriti za pripremanje 100 gr. 2% rastvora. Sličnom proporcijom sada nalazimo koliko je mase jedinjenja potrebno za pripremanje unapred zadane mase 2% rastvora tog elementa:  $100:A=B:x$ . Rečima ovu proporciju možen iskazati na sledeći način: Ako je za 100 gr. 2% rastvora potrebno odmeriti A gr. jedinjenja, onda je za B gr. 2% rastvora potrebno odmeriti x gr. jedinjenja.

Za pripremanje manjih koncentracija od standardne, koncentracija koje su analizirane na automatizovanom RF analizatoru VRA-20 koristio sam sledeću relaciju:  $100 \text{ gr.} (0,3\%) : 0,3 \text{ gr.} = 50 \text{ gr.} (0,3\%) : x$ , rečima, u 100 gr. 0,3% rastvoru ima 0,3 gr. dotičnog elementa a u 50 gr. 0,3% rastvora imaće x gr. dotičnog elementa (primer se odnosi na pripremanje 50 gr. 0,3% rastvora). Sada se traži u kojoj se masi standardnog rastvora npr. 1% nalazi tih x gr. dotičnog elementa prema relaciji:  $100 \text{ gr.} (1\%) : 1 \text{ gr.} = Y \text{ gr.} (1\%) : X \text{ gr.}$  dotičnog elementa ( $Y \text{ gr.} (1\%)$  rastvora je ta nepoznata masa koju treba odmeriti od standardnog rastvora za pripremanje 50 gr. 0,3% rastvora). Razliku izmedju ove mase i 50 gr. čini masa desitilovane vode. Relacije napred navedene, biće ilustrovane na jednom od konkretnih primera pripreme određenih koncentracija za analizu.

#### Primer br.1

Za analizu željeza(Fe), koristio sam željezo nitrat  $\text{Fe}(\text{NO}_3)_3 \cdot 9\text{H}_2\text{O}$ . Jednoprocenntni standardni rastvor željeza odredio sam na sledeći način:

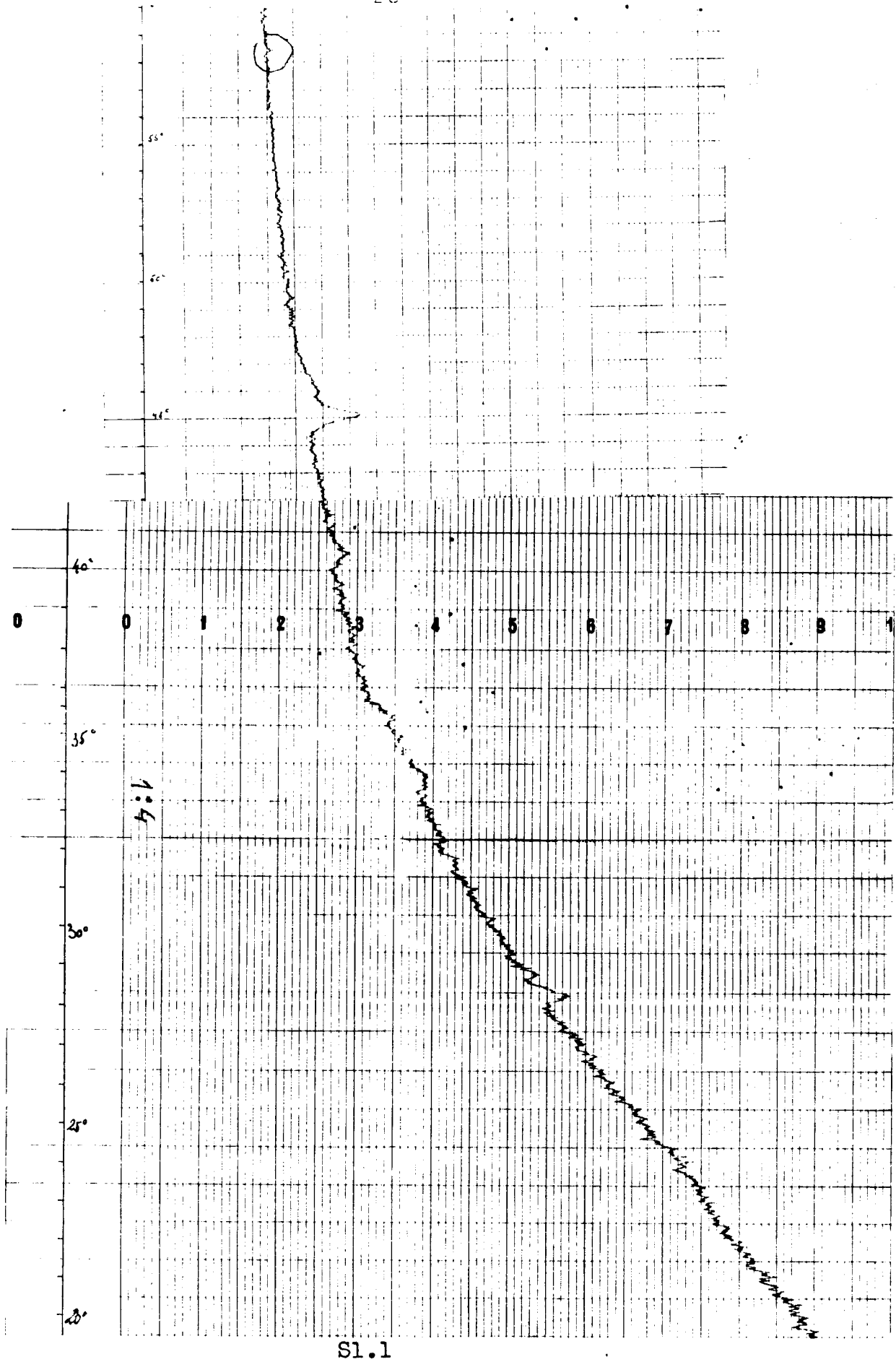
$$1:x=M_{\text{Fe}}:M_{\text{Fe}(\text{NO}_3)_3 \cdot 9\text{H}_2\text{O}}; M_{\text{Fe}}=55,85; M_{\text{N}}=14,008; M_{\text{O}}=16; M_{\text{H}}=1,008.$$

$$1:x=55,85:404,018 \quad x=7,234 \text{ gr.}$$

Dakle u 100 gr. 1% rastvora  $\text{Fe}(\text{NO}_3)_3 \cdot 9\text{H}_2\text{O}$  imaće 7,234 gr. željeza. Kako sam unapred izabrao da mi svi standardni rastvori budu od 50 gr. (izmedju ostalog i zbog raspoloživih posuda za rastvore), za pripremanje navedene mase 1% rastvora željeza koristio sam sledeću relaciju:

$$100:7,234=50:x; x=3,617 \text{ gr.}; 50-3,617=46,383 \text{ gr.}$$

Uz predhodno određivanje apsolutne nule na analitičkoj vagi, izmerio sam praznu, opranu i osušenu Petri-čašu koja mi je poslužila za odmeravanje 3,617 gr. željezo nitrata. Nakon toga uz ponovnu ko-



S1.1

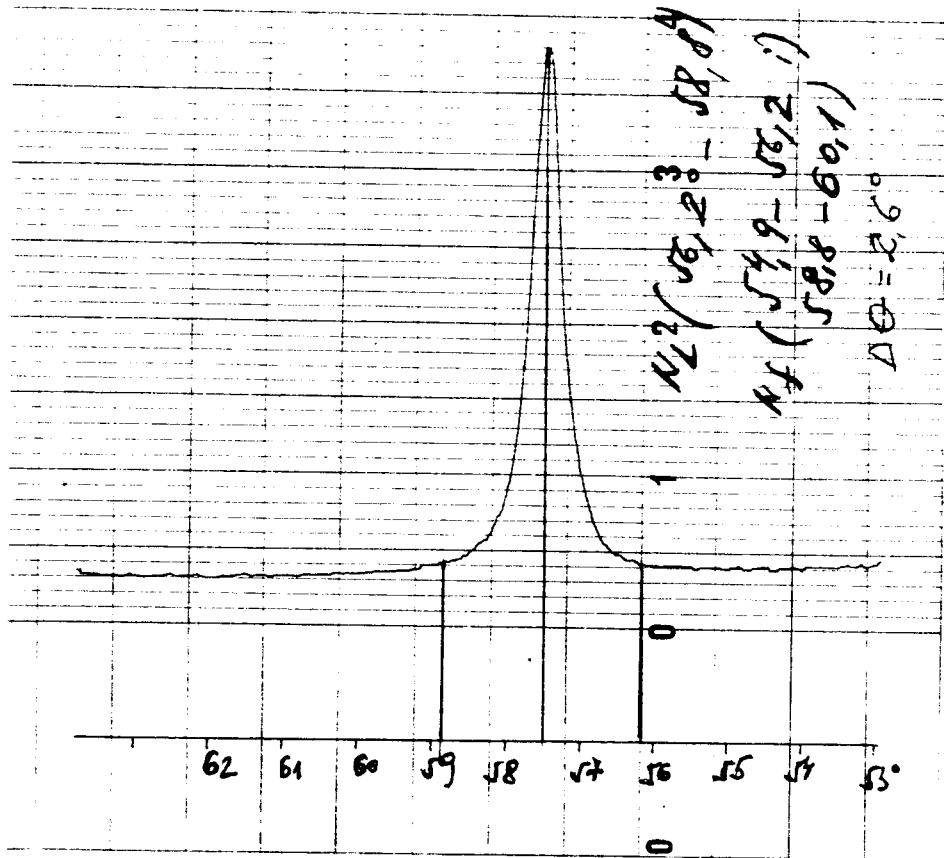
Spektar desitilovane vode, snimljen da bi se uverili da u istoj nema rasejanog zračenja ispitivanih elemenata, *sem Fe.*

ntrolu apsolutne nule, izmerio sam takodje praznu opranu i osu-  
šenu jednu kivetu koja mi je poslužila za odmeravanje 46,383 gr.  
desitilovane vode.Izračunavanju i odmeravanju navedenih veličina  
u gramima a ne u mililitrima,pribegao sam iz razloga što bi u pro-  
tivnom morao u račun uvesti i specifičnu gustinu rastvora i što  
nije bilo moguće postići temperaturu za svako pojedinačno merenje  
od  $+4^{\circ}\text{C}$ , kada 1 mililitru desitilovane vode odgovara 1 gr. desiti-  
lovane vode.Neizbežne greške na ovaj način su umanjene ali je po-  
stupak vremenski duži.20 ml.(ova količina zadovoljava uslov besko-  
načne debljine za x-zračenje) ovako pripremljenog rastvora stavio  
sam u kivetu sa tankom folijom (0,01-0,02 mm) na prozoru i preko  
predkomore automatski u komoru radi snimanja spektra željeza.Sa  
ovom koncentracijom rastvora izvršio sam simuliranje snimanja spe-  
ktra na pokretnoj traci pisača i konstatovao da pik spektra ima  
veliku visinu.Imajući u vidu zadatak rada,odmah sam pristupio pri-  
premanju 50 gr.0,5% rastvora željeza prema relaciji:

$100:0,5=50:x ; x=0,25\text{gr}.$ Dakle ako u 50 gr. 0,5% rastvora ima  
0,25 gr. željeza,treba naći u kojoj će se masi 1% rastvora naći tih  
0,25 gr. željeza koristeći relaciju:  $100:1=x:0,25 ; x=25\text{gr}.$ Na isti  
način,kao i kod predhodnog merenja odmerio sam 25 gr. 1% rastvora  
i 25 gr. desitilovane vode radi pripremanja 50 gr. 0,5% rastvora.  
Snimak K linije željeza za 0,5% koncentraciju rastvora želje-  
za,priložen je na sl. 2.

Sa ovoga ~~snimka~~ trebalo je odrediti tačan ugaoni položaj pi-  
ka,odnosno širinu pika i fona (levo i desno od pika),radi dalje  
analize.

Širina pika na ovom snimku iznosila je  $2,6^{\circ}$ ,odnosno od  $56,2^{\circ}$   
do  $58,8^{\circ}$ .Za zadavanje programa kompjuteru,pored drugih elemenata  
potrebno je bilo odrediti sa snimka i širinu fona,koja je jednaka  
širini pika i iznosi po  $1,3^{\circ}$  sa leve i desne strane pika tj. od  
 $54,9^{\circ}$  do  $56,2^{\circ}$  i od  $58,8^{\circ}$  do  $60,1^{\circ}$ .Pošto je kompjuter učitao pro-  
gram sa bušene trake,potrebno je bilo još preko teleprintera (pisa-  
ča)uneti neophodne podatke kao što su:OZ-redni broj elementa, $2\theta$  -  
početni ugaoni položaj goniometra,VOR-vreme ozračivanja,(K,C,N,A)-  
interne oznake za vrstu kristala,otvor kolimatora,vrednost ugla  
do koga želimo ići itd.Kompjuter je sada programiran da merenja  
obavlja automatski,pomerajući goniometar korakom od  $0,05^{\circ}$  posle  
svakog merenja.Maksimum ovako isписаног odbroja može se poređiti  
sa maksimumom pika snimljene  $K_{1/2}$  linije željeza i uveriti



Sl.2.

da se oni javljaju na istoj vrednosti ugla. Korišćenjem relacije iz teorije merenja za granicu detekcije  $N_L - N_B \geq 36$ , gde je  $N_L = N_P - N_F$ ,  $N_B = N_{PB} - N_{FB}$ ,  $\theta_L = \sqrt{N_P + N_F}$  - u kiveti se nalazi uzorak,  $\theta_B = \sqrt{N_{PB} + N_{FB}}$  - u kiveti se nalazi desitilovana voda,

$\theta = \sqrt{\theta_L^2 + \theta_B^2} = \sqrt{N_P + N_F + N_{PB} + N_{FB}}$ ,  $N_P$  - suma odbroja ispod pika kada je uzorak u kiveti,

$N_F$  - suma odbroja fona kada je uzorak u kiveti,

$N_{PB}$  - suma odbroja pika kada je u kiveti desitilovana voda,

$N_{FB}$  - suma odbroja fona kada je u kiveti desitilovana voda. Za 0,5% koncentraciju željeznog rastvora dobio sam da je:

$$N_L - N_B = 436.$$

Za postavljeni cilj zadatka ovo je velika koncentracija, što se uostalom vidi i sa priložene slike snimka K<sub>41</sub> linije. Nakon ove konstatacije pristupio sam pripremanju 50 gr. 0,05% rastvora željeza. Umesto polaženja od zadane koncentracije u svim ovim računima mogao sam da polazim od poznatih odmerenih masa pa da onda dobijem neku koncentraciju koju će ispitivati (npr. mogao sam da odmerim 50 gr. desitilovane vode i 2 gr. rastvora poznate koncentracije da ih pomešam i izračunam koncentraciju dobijene smeše). 0,05% ko-

ncentraciju rastvora željeza, napravio sam koristeći vrednosti sledeće relacije:

$$100:0,05=50:x ; x=0,025 \text{ gr.} ; 100:1=x:0,025 ; x=2,5 \text{ gr.}$$

Dakle trebalo je odmeriti 2,5 gr. 1% rastvora željeza i 47,5 gr. desitilovane vode. Odmeravanje ovih masa, priprema za aparaturu i programiranje kompjutera radjeno je istovetno kao i za predhodnu koncentraciju. Račun iz dobijenih vrednosti za  $N_P, N_F, N_{PB}$  i  $N_{FB}$ , za ovu koncentraciju pokazao je da je  $N_L-N_B=13,2\%$ .

Sledeća koncentracija pripremana za željezo je 0,005% koncentracija željeza u rastvoru. Vrednosti mase koje je trebalo odmeriti dobio sam pomoću relacije:  $100:0,005=50:x ; x=0,0025 \text{ gr.}$  odnosno  $100:1=x:0,0025 ; x=0,25 \text{ gr.}$  1% rastvora. Postupak odmeravanja ovih masa i pripreme za aparaturu i analizu tekao je kao kod predhodnih koncentracija. Ispisani odbroji na teleprinteru, za 0,005% koncentraciju rastvora željeza, dati su na sl. 3.

Sumarne vrednosti pojedinačnih odbroja ispod pika i fona imaju sledeće vrednosti:

$$N_P=1,063.033$$

$$N_F=720.457$$

$$N_L=N_P-N_F=342.576$$

$$N_{PB}=1,052.619$$

$$N_{FB}=717.064$$

$$N_B=N_{PB}-N_{FB}=335.555$$

$$\text{Na osnovu ovih vrednosti imamo: } N_L-N_B=7.021 \text{ i}$$

$$6=\sqrt{N_P+N_F+N_{PB}+N_{FB}}=\sqrt{1,063.033+720.457+1,052.619+717.064}=$$

$$=\sqrt{3,553.173}=1.885 \text{ te na kraju:}$$

$$N_L-N_B=3,72\%$$

Za koncentraciju 0,003%, dobio sam da je  $N_L-N_B$  negativna vrednost, pa odatle sledi zaključak da je 0,005% koncentracija rastvora željeza minimalna koncentracija istog elementa u vodenom rastvoru, koja se može detektovati metodom rendgensko-fluorescentne analize. Prema unapred zadanim programu, goniometar za ovo merenje pomerao se korakom od  $0,05^\circ$ . Početna vrednost ugla ispod pika iznosila je  $56,2^\circ$ . Nakon 27 pojedinačnih ispisa na teleprinteru, maksimalnu vrednost pojedinačnog odbroja ispod pika, dobio sam na uglu od  $57,50^\circ$ , koji istovremeno odgovara uglu na kome je dobijen vrh pika za 0,5% koncentraciju rastvora željeza, sl. 2. Predviđom nisam snimio spektar rastvora željeza nešto veće koncentracije od minimalne registrirane pomoću kompjutera.

\*FR: 1-3

- 24 -

L-B.R. 02 2THETA K C N A VOR D P PWA

D 001: 26 052.20 4 1 1 2 030 3 1 0

D 002: 26 054.90 4 1 1 2 030 3 1 0

D 003: 26 058.80 4 1 1 2 030 3 1 0

\*FR: 1-3

MBNR A ZAHL W-STEP W-WELT

M 001: w 1 0.05 2.6

M 002: w 1 0.05 1.3

M 003: w 1 0.05 1.3

\*FN: 1-3

MBNR DBNR

M 001: 1

M 002: 2

M 003: 3

\*MM: 1-3

OG:

00139216 0018937X

ACB: 1

D 001: 2T= 56.20

\*MM: 1-3

OG:

Fe(0,005%)

0013995 0014159 0014296 0014328 0014455 0014287 0014125 0014539  
0014557 0014817 0014770 0014829 0015386 0015751 0016412 0017166  
0018137 0018837 0020292 0020957 0022631 0024925 0027700 0033933  
0033653 0036119 [0036834] 0035626 0033434 0030345 0027564 0024907  
0023071 0021287 0020289 0019614 0019067 0018582 0018386 0018157  
0018258 0018098 0018236 0018451 0017919 0017894 0017315 0017177  
0016704 0016442 0015990 0015778 0015550  
0014673 0014491 0014433 0014496 0014453 0014354 0014564 0014600  
0014372 0014326 0014186 0014109 0014195 0014152 0013962 0014108  
0014016 0014033 0013833 0013702 0013902 0013918 0013777 0013738  
0014010 0013925 0013960  
0015669 0015347 0015314 0014987 0014520 0014234 0014361 0013995  
0013862 0013512 0013456 0013094 0012883 0012906 0012567 0012404  
0012342 0012111 0012129 0011965 0012119 0011719 0011648 0011532  
0011429 0011402.0011235

\*\*\*

VODA

X

\*NN: 1-3

OG:

0013908 0014213 0014122 0013852 0014143 0014234 0014374 0014437  
0014226 0014759 0014832 0014964 0015379 0015926 0016375 0017336  
0017872 0018906 0019863 0020941 0022953 0024713 0027449 0030821  
0033352 0035526 0036135 0034445 0032247 0029289 0026589 0024467  
0022736 0021098 0019948 0019563 0018749 0018606 0018152 0018306  
0018204 0018319 0017815 0017936 0018254 0017678 0017544 0017171  
0016487 0016150 0016099 0015744 0015392  
0014660 0014257 0014467 0014363 0014295 0014442 0014341 0014516  
0014221 0014270 0014341 0014028 0014123 0014028 0014220 0014124  
0014052 0013926 0013932 0013734 0013997 0013834 0013643 0014080  
0013614 0013707 0013711  
0015376 0015229 0015146 0014706 0014353 0014135 0013841 0013783  
0013254 0013475 0012986 0012856 0012766 0012430 0012402 0012273  
0012170 0012156 0011995 0012050 0011746 0011498 0011511 0011339  
0011437 0011170 0011215

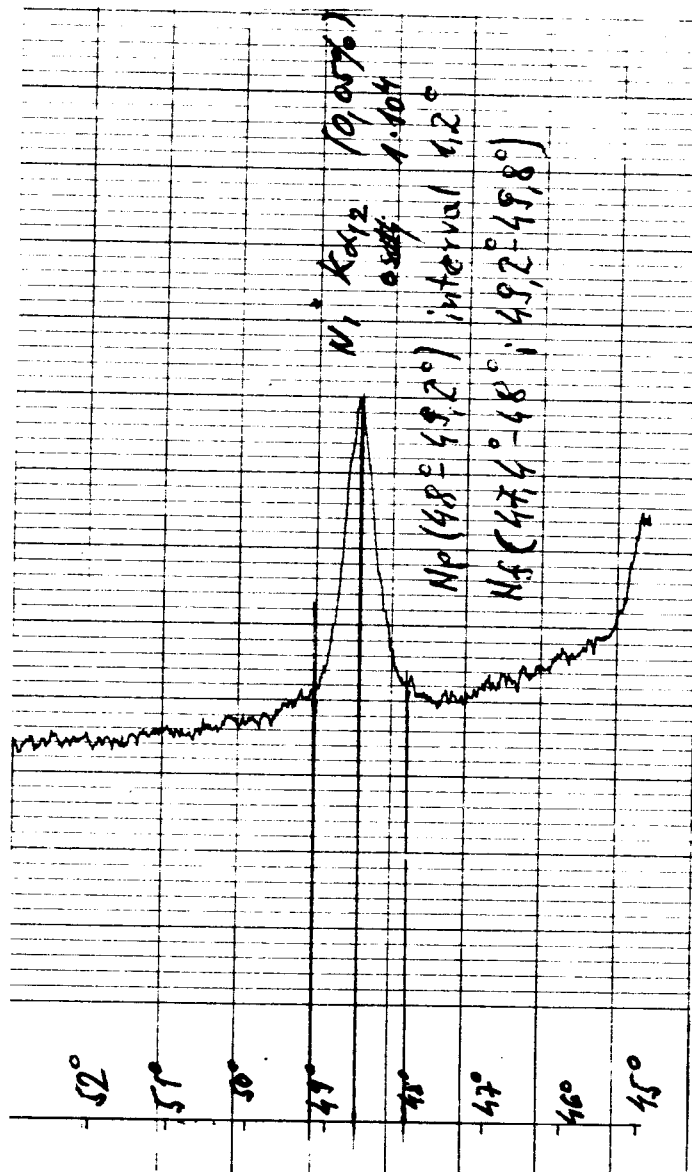
\*

### S1.3.

#### Primer br.2

Za analizu nikla (Ni), koristio sam nikl nitrat  $\text{Ni}(\text{NO}_3)_2 \cdot 6\text{H}_2\text{O}$ . Pripremu 1% rastvora nikla, odmeravanje potrebnih masa i ostale pripremne radnje za analizu uradio sam kao kod prvog primera. Sa ovom koncentracijom rastvora izvršio sam simulirano snimanje  $K_{\alpha_{1,2}}$  linije na pokretnoj traci pisača i konstatovao da pik ove linije sa datom osetljivošću ima veliki intenzitet i da izlazi iz opsega pisača zbog velike osetljivosti i velike koncentracije. Isti slučaj dobio je sa 0,5% koncentra-

cijom rastvora.Tek za 0,05% koncentraciju vodenog rastvora nikla snimljena je  $K_{d_{12}}$  linija nikla prikazana na sl.4.

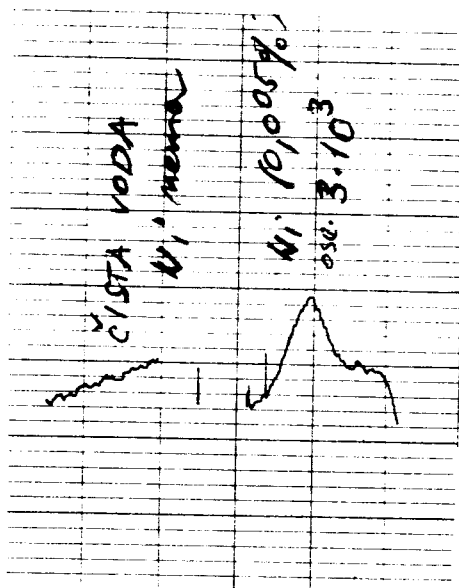


Sl.4.

Sa ovoga snimka odredjen je ugaoni položaj pika,odnosno njegova ugaona širina,kao i ugaona širina fona,radi potreba programiranja kompjutera.Pojedinačni odbroji na teleprinteru za 0,05%: 0,02% i 0,008% koncentraciju rastvora imali su velike brojčane vrednosti,odnosno davali su veliku brojčanu vrednost odnosa  $b$  i  $N_L - N_B$ .Tek kod rastvora sa 0,005% koncentracijom dobio sam da je  $N_L - N_B = 11,8b$ .

$K_{d_{12}}$ linija sa 0,005% koncentracijom rastvora nikla data je na sl.5. na kojoj se još i te kako primećuje jasno izražen pik  $K_{d_{12}}$ linije. Zbog još uvek jasno izraženog pika  $K_{d_{12}}$ linije i velikog brojčanog odnosa  $N_L - N_B$  i  $b$ ,prešao sam na kompjutersku analizu 0,003% koncen-

ntracije vodenog rastvora nikla. Pojedinačni odbroji za ovu koncentraciju ispisani na teleprinteru dati su na sl. 6. Sticajem okolnosti ovo će biti i najmanja koncentracija za koju je napravljen teleprinterski odbroj.



Sl. 5 .

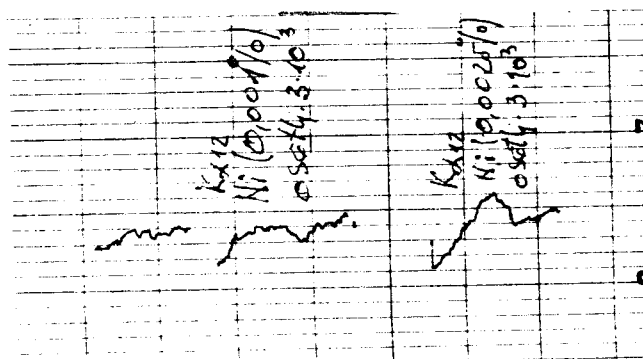
Koristeći izraz za granicu detekcije i sume pojedinačnih odbroja ispod pika i fona ispisanih na teleprinteru, za ovu koncentraciju sam dobio sledeće vrednosti:

$$N_L - N_B \geq 36$$

$$N_P = 853.616 \quad N_L = N_P - N_F = 18.205 \quad N_{PB} = 835.135 \quad N_B = N_{PB} - N_{FB} = -58.811 \\ N_F = 835.411 \quad N_{FB} = 893.946$$

Kada  $N_B$  pomnožimo sa statističkom greškom može se uzeti da je  $N_B > 0$ , što znači da tu nema linije, da se javlja rupa, pa je  $N_L - N_B = 18.205 - 0 = 18.205$ ;  $b = \sqrt{3.418.108} = 1.849$ :  $N_L - N_B = 9.840$ .

Na pokretnoj traci pisača, snimao sam  $K\alpha_2$  liniju za 0,0025% i 0,001% koncentraciju vodenog rastvora nikla sl. 7, da bi video na kojoj koncentraciji treba da vršim dalju kompjutersku analizu. Nakon ovog snimanja, a pre kompjuterske analize došlo je do kvara



Sl. 7 .

\*MM: 1-3

OG:

Ni 0,003%

0014322 0014028 0014175 0014127 0014160 0014266 0014723 0014769  
0014380 0014251 0013987 0014073 0014002 0013695 0014068 0014044  
0014088 0014052 0014077 0014051,0014144 0014034 0014193 0014268  
0014220 0014339 0014376 0014490 0014654 0014483 0014857 0014615  
0014725 0014538 0014563 0014434 0014424 0014107 0014214 0014224  
0013822 0014105 0013743 0013824 0013632 0013818 001356 0013651  
0013401 0013537 0013353 0013374 0013132 0013436 0013127 0013295  
0013076 0013289 0012947 0013146,0013161  
0015366 0015384 0015342 0015138 0015289 0015057,0015086 0015208  
001414,0015241 0014880 0015219 0014644 0014526 0014615 0014352  
0014714 0014635 0014441 0014298 0014370 0014373 0014127 0014318  
0014236 0014380 0014173 0013944 0014439 0014178 0014366  
0012999 0013027 0012982 0013042 0012995 0012990 0012971 0012789  
0012804 0012834 0012632 0012567 0012581 0012793 0012541 0012601  
0012619 0012585 0012483 0012582 0012591 0012446 0012426 0012474  
0012453 0012462 0012463 0012389 0012477 0012360 0012270

\*x

/\*//ERENJE VODE//

x

\*MM: 1-3

OG:

0014145 0014040 0014068 0013985 0014063 0013681 0013811 0014133  
0013897 0013943 0013904 0013936 0013811 0013867 0013855 0013997  
0013868 0014053 0014085 0013866 0013842 0013725 0013721 0013860  
0013774 0013875 0013922 0014020 0013986 0014086 0013903 0014031  
0013747 0013948 0013641 0013749 0013944 0013948 0013652 0013592  
0013684 0013680 0013547 0013626 0013255 0013374 0013488 0013521  
0013286 0013260 0013136 0013086 0013344 0013164 0012974 0013099  
0013094 0013148 0013277 0013063 0013084  
0015364 0015294 0015230 0015240 0015256 0015330 0014923 0015322  
0014907 0014770 0014729 0015195 0014836 0014785 001509 0014610  
0014789 0014631 0014719 001496 001476 0014612 0014450 0014384  
0015433 0016301 0016192 0016461 0016516 0014617 0014661  
0014809 0015147 0015158 0015160 0015144 0015132 0015093 0015293  
0014994 0015171 0015022 0014954 0015024 0014831 0014835 0014639  
0014571 0014727 0014637 0014695 0014706 0014685 0014686 0014771  
0012493 0012600 0012353 0012497 0012271 0012225 0012461

na rendgenskoj cevi, ista je morala biti zamenjena i do ispuštanja rastvora u komoru i poremećaja kod vakuum pumpe.

Posle neophodne intervencije na aparaturi, nastavljena je kompjuterska analiza 0,002% koncentracije vodenog rastvora nikla. Analiza sa istom koncentracijom ponavljana je više puta iz razloga što su pojedinačni odbroji ispisivani na teleprinteru naglo skakali ili opadali. Kao očigledan primer prilažem teleprinterski ispis za desitilovanu vodu sl. 8, na kojem su ovi poremećaji jako uočljivi.

\*/'ERENJE VOLE'/\*

>

\*MM: 1-3

OG:

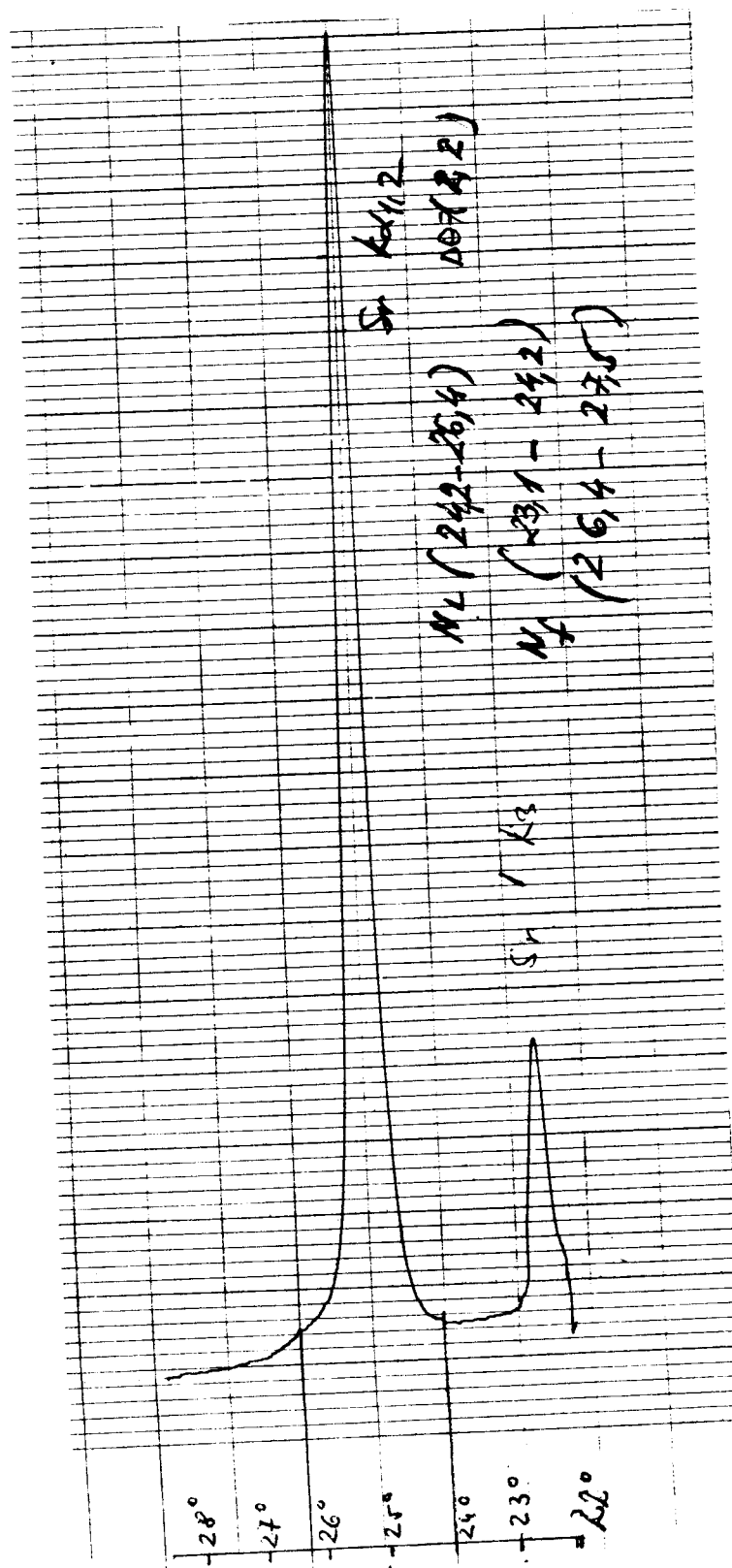
0015791 0015871 0015688 0015515 0015595 0015606 0015873 0015835  
0015593 0015557 0015729 0015607 0015680 0015796 0015441 0015501  
0015407 0015247 0015435 0015216 0015315 0015310 0015467 0015 66  
0015543 0015404 0015229 0015211 0015476 0015475 0015149 0015493  
0015315 00154 1 0015075 0015263 0015281 0015309 0014940 0014946  
0014779 0015119 0014710 0014943 0014692 0014708 0014706 0014705  
0014789 0014592 0014786 0014586 0014681 0014550 0014792 0014729  
0014548 0014641 001473 0014560 0014553  
0016918 0016906 0017130 0016940 0016949 0016728 0016963 0016638  
0016259 0016680 0016267 0016804 0016586 0016340 0016272 0016250  
0016479 0016254 0016396 0016457 0016064 0016101 0015836 0016245  
0016174 0016105 0016012 0015991 0016031 0015883 0016039  
0014742 0014615 0014633 0014500 0014632 0014442 0014430 0014385  
0014598 0014509 0014320 0014415 0014241 0014304 0014295 0014241  
0014153 0014166 0014277 0016827 0016757 0017017 0016883 0016691  
0016516 0016905 0016725 0016597 0016643 0016845 0016782

Sl. 8.

Imajući u vidu snimak K<sub>A4</sub> linije sl.7, za 0,0025% koncentraciju vodenog rastvora nikla i brojčanu vrednost odnosa N<sub>L</sub>-N<sub>B</sub> i dobivenu kompjuterski za 0,003% koncentraciju rastvora, predpostavljam da je minimalna koncentracija vodenog rastvora nikla koja se može kompjuterski analizirati negde izmeđju 0,0018 i 0,002%.

Primer br. 3

Za analizu stroncijuma (Sr), koristio sam njegovo jedinjenje stroncijum hlorat  $\text{SrCl}_2 \cdot 6\text{H}_2\text{O}$ , pripremajući odmah kao standardni 0,5% rastvor stroncijuma. Sa tako pripremljenim rastvorom odmah je na pisaču napravljen snimak  $K_{\alpha 1}$  linije stroncijuma sl. 9, te odredjeni ugaoni položaji odnosno ugaone širine pika i fona levo i desno od pika. Pre toga već su bile pripremljene 0,05 ; 0,005 ; 0,0025 ; 0,0015 i 0,0008% koncentracije vodenog rastvora stroncijuma.



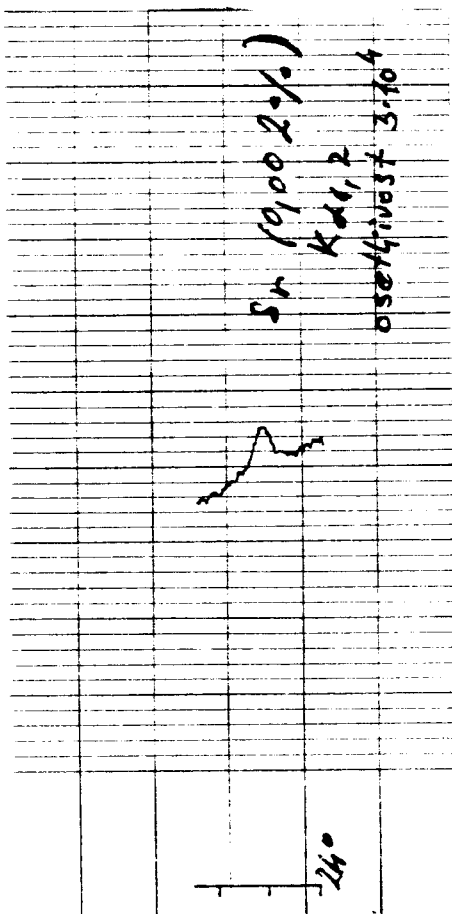
Dosadašnje iskustvo i visina pika  $K_{41}$  linije, upućivale su me da odmah pokušam sa kompjuterskom analizom 0,0015% koncentracijom stroncijumovog rastvora. Pojedinačni odbroji ispisani na teleprinteru za ovu koncentraciju dati su na sl.10.

Koristeći relaciju za granicu detekcije i dobijene vrednosti za  $N_p$ ,  $N_F$ ,  $N_{PB}$  i  $N_{FB}$ , za odnos  $N_L - N_B$  i  $\delta$  dobio sam sledeću vrednost:

$$N_p = 8,229.441 \quad N_L = N_p - N_F = 26.210 \quad N_{PB} = 8,179.587 \quad N_B = N_{PB} - N_{FB} = -7.366 \\ N_F = 8,203.231 \quad N_{FB} = 8,186.953$$

Nakon množenja  $N_B$  sa statističkom greškom može se uzeti da je  $N_B \approx 0$ , pa je  $N_L - N_B = 26.210$  a  $\delta = \sqrt{32,799.212} = 5.727$ , odakle proizilazi da je za 0,0015% koncentraciju vodenog rastvora stroncijuma  $N_L - N_B = 4,57\delta$ .

Snimak  $K_{41}$  linije stroncijuma za 0,002% koncentraciju rastvora stroncijuma, dakle nešto veću koncentraciju od one minimalne registrovane na kompjuteru dat je na sl.11.



\*FD: 1-3

DBNR OZ 2THETA K C N A VOR D P PWA

D 001: 38 024.2 4

#2405

D 001: 38 024.20 4 1 1 2 020 2 1 0

D 002: 38 023.10 4 1 1 2 020 2 1 0

D 003: 38 026.40 4 1 1 2 020 2 1 0

\*FR: 1-3

MBNR A ZAHL W-STEP W-WEIT

M 001: W 1 0.03 2.2

M 002: W 1 0.03 1.1

M 003: W 1 0.03 1.1

3.0021  
Se

\*FN: 1-3

MBNR DBNR

M 001: 1

M 002: 2

M 003: 3

\*MM: 1-3

OG:

0120050 0118713 0118650 0118455 0119116 0118079 0117443 0118421  
0117825 0117369 0116672 0116825 0117135 0116438 0116265 0116152  
0115611 0116002 0116536 0115613 0115694 0115762 0115803 0115511  
0115452 0115835 0116237 0117966 0117392 0117272 0118028 0116301  
0116817 0116360 0114587 0114434 0112894 0112938 0111386 0110929  
0110079 0110002 0109447 0109215 0108785 0108944 0108369 0107922  
0107515 0107456 0106360 0106927 0105959 0106768 0105920 0105457  
0105880 0105274 0104695 0104630 0104262 0103703 0103519 0103558  
0102345 0103134 0102509 0102535 0102548 0101632 0101253 0101520  
0100760 0100591  
0131189 0130813 0130779 0130570 0129591 0129597 0129547 0129338  
0129182 0128260 0128761 0128059 0127451 0127313 0126780 0126913  
0126980 0126813 0126103 0125757 0125568 0125128 0125520 0125017  
0124478 0124162 0124478 0124061 0124694 0124016 0123775 0123386  
0123042 0122463 0121921 0121462 0121113  
0100626 0099777 0100075 0099748 0098893 0099198 0098600 0098504  
0098380 0097382 0097301 0097125 0097279 0096526 0096591 0095396  
0095900 0095606 0094954 0095186 0095149 0094378 0094114 0093757  
0093906 0093448 0092804 0092840 0092817 0092256 0092089 0092087  
0092098 0091196 0091382 0090773 0091010

\*MM: 1-3

MERENÉ ŽA VODU

OG:

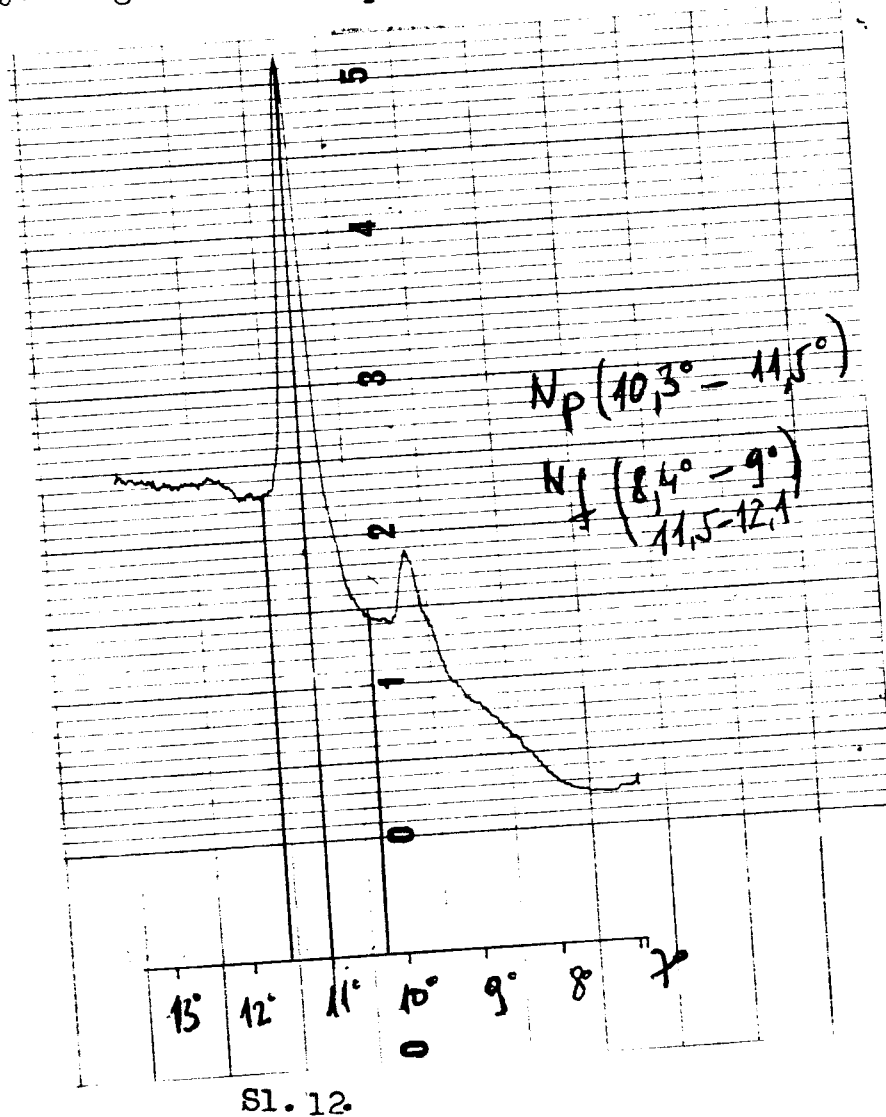
0120907 0121448 0120481 0119860 0119682 0119495 0118997 0118426  
0118816 0119239 0117742 0117502 0117487 0117100 0116590 0116869  
0115825 0116279 0115803 0115936 0115869 0115333 0114795 0114083  
0113309 0113373 0113196 0113165 0112213 0112553 0112251 0112402  
0111645 0111220 0111415 0111366 0110082 0110194 0109972 0109595  
0109527 0108802 0109050 0109083 0108576 0108201 0108140 0107702  
0107204 0106680 0106078 0106441 0105653 0106175 0105737 0105446  
0105016 0105314 0105069 0104091 0103618 0103728 0103734 0102837  
0103141 0102815 0102168 0101847 0101537 0101465 0100880 0100980  
0100300 0100037  
0130755 0130688 0130237 0130004 0129528 0129880 0129472 0129184  
0128789 0128343 0128109 0127493 0127405 0126655 0126229 0126569  
0126086 0125970 0125422 0125387 0125466 0125346 0124433 0124402  
0123922 0123909 0124353 0124248 0123395 0122834 0123570 0123466  
0122434 0122350 0121728 0121325 0120836  
0100402 0099892 0099210 0100101 0098995 0099301 0098445 0097650  
0097576 0097527 0097491 0096992 0097244 0096519 0096207 0096097  
0095115 0095271 0094940 0094782 0094764 0094749 0094681 0093641  
0094494 0093581 0093005 0093012 0091848 0092699 0092063 0092069  
0091838 0092016 0091309 0090537 0090668

\*

S1.10.

Primer br.4

Za analizu barijuma (Ba), koristio sam njegovo jedinjenje barijum hlorat  $BaCl_2 \cdot 2H_2O$  i po ustaljenom postupku pripremio 1% koncentraciju vodenog rastvora barijuma. Na pisaču je napravljen snimak Katalitne linije barijuma sl.12, sa ovom koncentracijom i sa iste odredjene ugaone širine pika i fona levo i desno od pika.



Pored standardne koncentracije vodenog rastvora barijuma, istovremeno sam napravio i 0,25 ; 0,05 ; 0,03 ; 0,015 i 0,01% koncentraciju vodenog rastvora barijuma i iste podvrgao analizi. Na sl.13. dati su pojedinačni odbroji ispisani na teleprinteru za za 0,015% koncentraciju rastvora. Za 0,015% koncentraciju sa teleprinterskog ispisa dobio sam sledeće podatke:

$$N_p = 10,280.470$$

$$N_L = N_p - N_f = 2,031.200$$

$$N_f = 8,249.270$$

$$N_{PB} = 10,056.546$$

$$N_{FB} = 8,038.358$$

$$N_B = N_{PB} - N_{FB} = 2,018.188$$

a iz ovih vrednosti sledi da je  $N_L - N_B = 13.012$  odnosno da je

\*MM: 1-3

Bar(0,015%)

OG:

0136353 013657 0137416 0137273 0137731 0138403 0139011 0139230  
0141096 0141778 0142600 0144746 0145297 0147562 0147401 0150403  
0152350 0153634 0155132 0157617 0158634 0159463 0162026 0162659  
0164013 0165262 0167347 0168508 0170020 0171411 0172704 0174290  
0175316 0176243 0178264 0180281 0181433,0181575 0183011 0183821  
0183176 0183591 0185015 0184762 0185777 0185117 0186530 0186443  
0187534 0186828 0188245 0189287 0189743 0190111 0191098 0191190  
0191964 0193447 0193937 0193273 0193032  
0046633 0047664,0048901 0049736 0051241 0053155 0053228 0054852  
0055454 0056929 0058067 0059693 0060865 0061781 0062297 0064068  
0064871 0066203 0067406 0068310 0069094 0070107 0071158 0072444  
0072979 0074102 0074547 0076385 0077397 0078878 0079338  
0193363 0194031 0194112 0195689 0195595 0197324 0197239 0198486  
0199263 0199607 0200304,0201278 0201421 0203257 0203411 0203789  
0204496 0205710 0206389 0206804 0208219 0208916 0208629 0210510  
0211925 0211951 0211606 0212128 0213056 0214244 0214279

\*/MERENJE ODEROJA NA VODI ZA BARIJUM//x

227

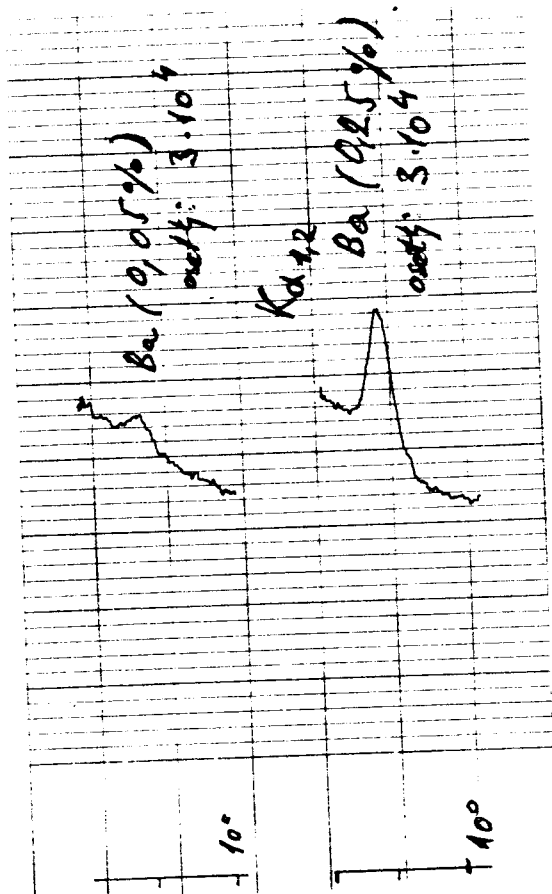
\*MM: 1-3

OG:

0134387 0135232 0135516 0136372 0136465 0137513 0138201 0139033  
0139117 0141287 0142338 0143561 0144402 0146222 0147934 0148524  
0149842 0152357 0154364 0155736 0156879 0157880 0159578 0160061  
0161820 0162924 0164618 0164606 0166342 0166530 0167350 0168548  
0169356 0169925 0171180 0172096 0172983 0173978 0174009 0175855  
0176453 0176751 0179024 0178734 0179778 0180596 0180057 0181418  
0181880 0182788 0183739 0184756 0185131 0186508 0186471 0188284  
0188643 0188309 0189943 0190801 0191551  
0046440 0047603 0048760 0050045 0051211 0052181 0053785 0054604  
0055865 0056969 0058553 0059259 0060454 0061775 0062371 0063735  
0064493 0065873 0066982 0068124 0069211 0070686 0071308 0072379  
0073336 0074330 0075087 0076713 0077158 0078689 0079137  
0191385 0193154 0193700 0194205 0195321 0195750 0196048 0197096  
0197552 0197349 0199755 0199938 0200086 0200629 0202225 0202605  
0203390 0203884 0204556 0205395 0206357 0207515 0208140 0207869  
0209621 0209724 0210972 0211862 0211567 0213199 0213313

$$\zeta = \sqrt{36,624,644} = 6.051,8 \text{ i na kraju } N_L - N_B = 2,1^{\circ}.$$

Na sl.14.dati su snimci  $K_d$  linije barijuma sa nešto većim koncentracijama od one minimalne registrovane i ispitivane na kompjuteru.



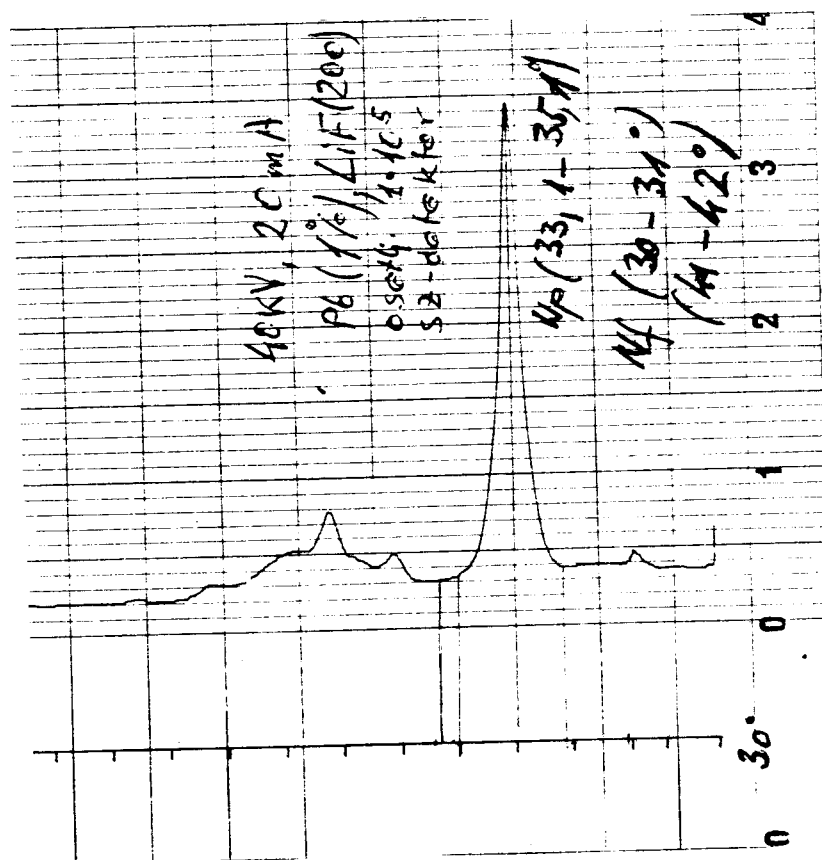
Sl.14.

Primer br.5

Kod analize olova, pošao sam od njegovog jedinjenja olovo nitrata  $Pb(NO_3)_2$ , pripremajući po ustaljenom postupku 1% koncentraciju rastvora olova. Sa ovom koncentracijom na pokretnom pisaču napravljen je snimak  $L_d$  linije olova, dat na sl.15. Sa dobivenog snimka uzeti su neophodni podaci za programiranje kompjutera i prešlo se na pripremanje manjih koncentracija za kompjutersku analizu. Kompjuterska analiza vodenog rastvora olova radjena je za 0,05 ; 0,005 ; 0,003 ; 0,0013 i 0,0008% koncentraciju. Na povremenu nepouzdanost ove aparature govori podatak da su se za tri merenja iste količine 0,003% koncentracije vodenog rastvora olova, dobijale različite sumarne vrednosti za  $N_P$ ;  $N_F$ ;  $N_{PB}$  i  $N_{FB}$ .

Kada ovo govorim mislim na razliku od nekoliko desetina hiljada u sumarnim odbrojima. Napominjem da su uzorci uzimani iz iste kivete unapred pripremljene 0,003% koncentracije vodenog rastvora.

ra olova, čime su izbegnute sve greške u pojedinačnom pripremanju ove koncentracije, a ista količina rastvora stavljana u kivotu za analizu, isključivala je eventualne greške koje bi nastale usled različite debljine uzorka. Uzimana količina rastvora pri ovim merenjima bila je ista kao kod merenja-analiza za druge elemente i zadovoljavala je uslov beskonačne debljine za X-zračenje. Dakle, ljudski faktor u prouzrokovavanju različitih sumarnih vrednosti za istu koncentraciju bio je maksimalno isključen.



Sl.15.

Odbroji, ispisani na teleprinteru za 0,0013% koncentraciju vodenog rastvora olova, prikazani su na sl.16. Sumarne vrednosti pojedinačnih odbroja sa ovog ispisa imaju sledeće vrednosti:

$$N_P = 2,800.530 \quad N_L = 26.982 \quad N_{PB} = 2,673.984 \quad N_B = 44.764 \\ N_F = 2,773.548 \quad N_{FB} = 2,718.748$$

Množenjem  $N_B$  sa statističkom greškom, dobijamo za  $N_B \approx 0$ , pa je  $N_L - N_B = 26.982$ , a iz sumarnih vrednosti dobijamo da je  $\sigma = \sqrt{10,966.810} = 3.312$ , odnosno

$$N_L - N_B = 8,146.$$

Za 0,0008% koncentraciju vodenog rastvora olova dobio sam da je  $N_L - N_B$  negativna vrednost.

\*MM: 1-3

OG:

merengc  $\pm$  H<sub>2</sub>O

0067616 0068037 0068072 0066910 0067024 0066903 0066914 0066885  
0066588 0066448 0066121 0066409 0066276 0066631 0067046 0067558  
0067019 0067794 0068387 0068036 0068325 0068680 0066786 0067005  
0065764 0064995 0064147 0063954 0063242 0063237 0062405 0062333  
0061722 0061767 0061418 0061566 0061325 0061071 0060672 0060497  
0060399  
0077476 0077110 0076230 0076180 0076138 0075271 0075186 0075206  
0075256 0074487 0074560 0073474 0073116 0074155 0073089 0072981  
0072860 0072316 0071766 0071570 0071368  
0060557 0060427 0060497 0060385 0060119 0059884 0059929 0059839  
0059168 0058988 0058624 0058085 0058422 0058121 0058157 0057393  
0057582 0057696 0057774 0057356 0057426

\*1-

\*3\*

\*\*M

\*MM: 1-3

OG:

merengc  $\pm$  Pb (0.0013%)

0071746 0072237 0071813 0071693 0070848 0070417 0070757 0069951  
0070559 0070830 0070350 0069949 0070119 0070454 0070326 0070976  
0071150 0071716 0072419 0073014 0072733 0072156 0071129 0070491  
0069173 0068068 0067082 0065670 0065780 0064899 0064456 0064010  
0064082 0063463 0063061 0063143 0062566 0062431 0062093 0061324  
0061396  
0077999 0077498 0077658 0076618 0076932 0076260 0075539 0075869  
0076613 0076075 0074227 0074510 0074277 0074168 0073588 0073217  
0073074 0073866 0072839 0072310 0071715  
0062072 0061183 0063534 0060272 0060341 0060051 0059980 0060154  
0059877 0059231 0059779 0058614 0059436 0058458 0058147 0057842  
0058853 0058737 0057522 0057833 0057644

Primer br.6

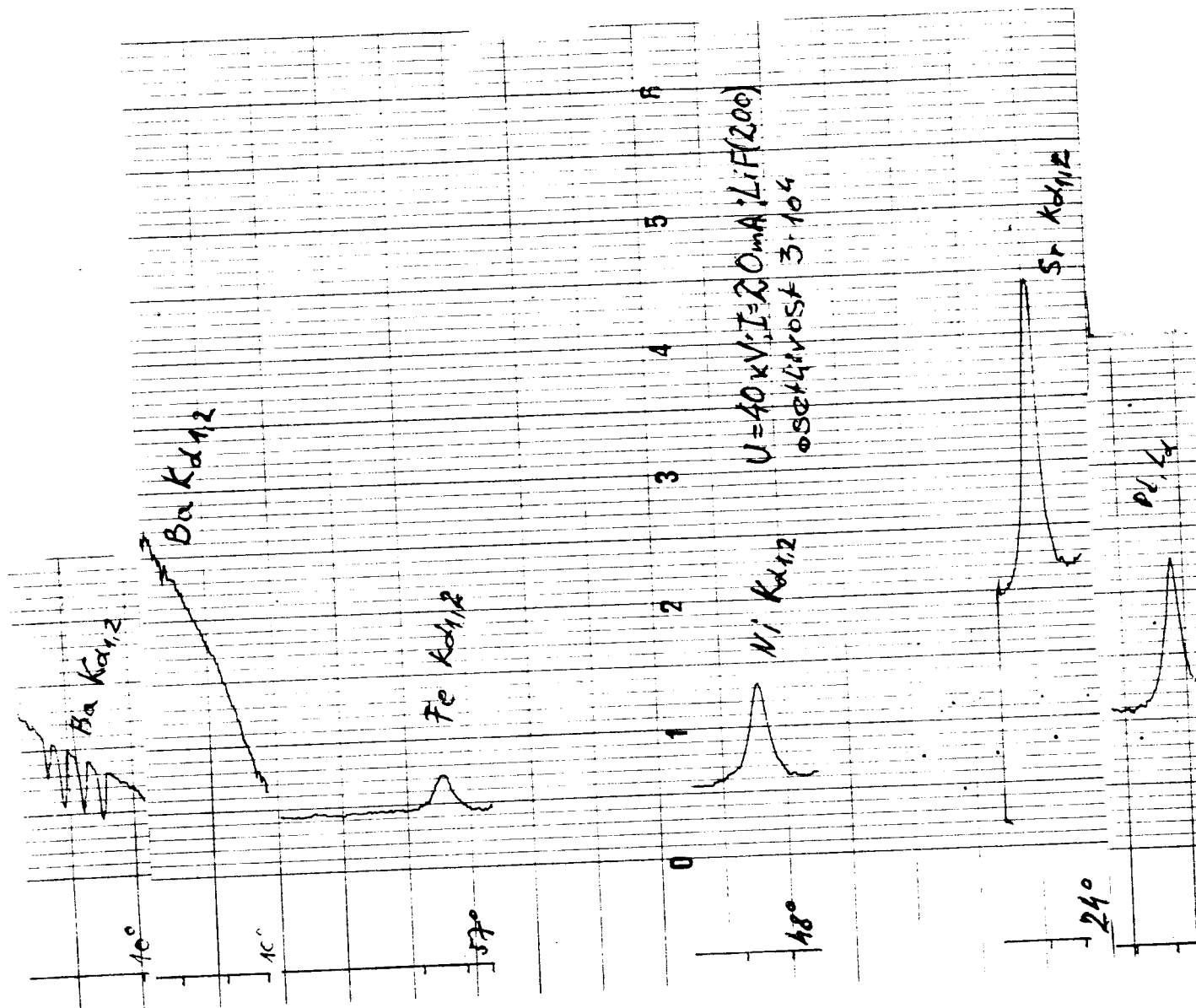
Za pripremanje 2% koncentracije vodenog rastvora bakra koristio sam prema već pomenutim hemijskim tabelama,bakar sulfat rastvorljiv u vodi.Prema poznatim hemijskim relacijama izračunata i odmerena masa bakar sulfata  $CuSO_4 \cdot 5H_2O$ ,nije se u potpunosti rastvorila u određenoj količini desitilovane vode.Isti se slučaj došao i kod pokušaja pripremanja 1% koncentracije vodenog rastvora bakra.Odmerena količina bakar sulfata za pripremanje 0,5% koncentracije vodenog rastvora bakra nije se rastvorila ni nakon zagrevanja na rešou kivete sa sulfatom i vodom.Posle i ovog propalog pokušaja odustao sam od analize bakra.

Živin hlorid,kao živino jedinjenje rastvorljivo u vodi,koristio sam za pripremu 1% koncentracije vodenog rastvora žive.Pri pokušaju snimanja  $K_{\alpha 1}$ linije žive za ovu koncentraciju,dobijao sam za svako sledeće merenje veću visinu pika od predhodne,kao da se u međuvremenu koncentracija povećavala.Ova činjenica je slučajno otkrivena.pošto kod prvog snimanja nisam odmah dobio čist snimak  $K_{\alpha 1}$ linije žive.Ipak,beli talog u kiveti sa vodenim rastvorom žive bio bi otkriven kasnije,pri zameni postojeće sa manjom koncentracijom.Postupak sa istom koncentracijom ponavljen je i nakon 24 časa,rezultat je bio isti.Kako se u staklenoj kiveti u kojoj se nalazila ova standardna koncentracija vodenog rastvora žive ni nakon 24 časa nije uhvatilo talog,nameće se zaključak da je do taloženja žive došlo usled jakog ozračenja u komori cevi i eventualno usled hemijske reakcije sa materijalom kivete u kojoj se rastvor pri analizi nalazi u komori.Nakon ovih pokušaja i smetnji koje su se javile odustao sam od dalje analize žive.

Snimanjem pika  $K_{\alpha 1}$ linije svih ispitivanih elemenata i  $L_{\alpha}$ linije olova,za istu,nešto veću od minimalne koncentracije kompjuterski registrovane pri ovim analizama,želeo sam da pokažem da sa porastom atomskog broja ispitivanih elemenata,raste i intenzitet pika.

Pik najmanjeg intenziteta ima  $K_{\alpha 1}$ linija barijuma sl.14.(bar prema rezultatima dobivenim u okviru ovog rada) pri koncentraciji od 0,05%.Kompjuterski registrovana najmanja koncentracija barija je 0,015%.Imajući u vidu ove vrednosti,pripremio sam 0,03% koncentraciju vodenih rastvora svih ispitivanih elemenata i napravio pod istim uslovima snimak  $K_{\alpha 2}$ linije za Fe,Ni,Sr,Ba i  $L_{\alpha}$ linije za Pb,sl.17.Imajući u vidu da se za olovo intenziteti  $K_{\alpha 1}$

$L_\alpha$  linija odnose kao:  $K_\alpha:L_\alpha=5,40:1,12$  i kalibraciju papira za snimanje, vidimo sa snimka da je sem za barij naše očekivanje potpuno ispunjeno.



Sl.17.

Odstupanja kod barija za mene su neobjašnjiva. Tri puta je pravljena 0,03% koncentracija vodenog rastvora barija i sa njima vršeno snimanje  $K_\alpha$  linije, od čega su dva snimka data na slici 17. Kompjuterskom analizom takodje je nadjeno da je vrednost minimalne koncentracije vodenih rastvora ispitivanih elemenata najveća opet kod barijuma, što je s obzirom na njegovo mesto u prirodnom sistemu elemenata nelogično. Jedinjenje u kome se nalazi ispitivani barijum ( $BaCl_2 \cdot 2H_2O$ ) sadrži elemente niže rednog broja od barijuma, što nas upućuje da njihov uticaj zanemarimo. Dva snimka barijuma na sl.17. su očigledan primer lošeg rada brojača, bar za ovaj elemenat i ovu koncentraciju istog.

Pored tzv. metode 36 koja se koristi u teoriji merenja za odredjivanje dojne granice detekcije, poredjenja radi, vršio sam analizu Ni i Fe, koristeći relacije između "studentske" raspodele, standardne devijacije i koncentracije (jedn. 2.8; 2.9; 2.10, br. reference 4).

Za ovu metodu, pripremio sam po lo koncentracija jednog i drugog elementa, gde je prva koncentracija bila nešto veća od najniže registrovane metodom 36.

Pripremljene koncentracije nikla, stavljaо sam u kivetu te preko predkomore automatski u komoru, zadavaо neophodan program kompjuteru i preko teleprintera ispisivao intenzitet za svaku koncentraciju. Za svaku koncentraciju uradjeno je po 5 merenja, sa vremenom snimanja 50 sekundi. Sa ovako dobijenih ispisu izračunata je srednja vrednost intenziteta t.i. broj impulsu po sekundi.

Teleprinterski ispsi za Ni dati su na sl. 18, a tabelarni prikaz koncentracija i intenziteta na sl. 19.

Iz tabelarnih vrednosti za koncentraciju i intenzitet uz korišćenje relacije 2.10 i relacija za parametre  $a_0$  i  $a_1$  i standardnu devijaciju s dobijamo:

$$C_B = 2 \cdot t(\bar{P}, f) \cdot \bar{s}$$

$$a_1 = \frac{m \sum I_c - \sum I \cdot \sum c}{m \sum I^2 - (\sum I)^2} = \frac{9 \cdot 635,37 - 22743,4 \cdot 0,2103}{9 \cdot 66,297 \cdot 10^4 - 517,262 \cdot 244} = 1,178 \cdot 10^{-5}$$

$$a_0 = \frac{\sum c - a_1 \sum I}{m} = \frac{0,2103 - 1,178 \cdot 10^{-5} \cdot 22743,4}{9} = -0,0064$$

$$\frac{2}{s} = \frac{\sum c^2 - a_0 \sum c - a_1 \sum I_c}{m-2} = \frac{0,00614 + 0,0064 \cdot 0,2103 - 1,178 \cdot 10^{-5} \cdot 635,37}{7}$$

$$= 0,1814 \cdot 10^{-6} \quad \bar{s} = 0,426 \cdot 10^{-3}$$

$$C_B = 2 \cdot t(0,95, 7) \cdot 0,426 \cdot 10^{-3} = 2 \cdot 2,37 \cdot 0,000426 = 0,00202\%$$

\*LB

DBNR OZ 2THETA K C N A VOR D P PWA

D 001: 28 048.63 4 1 1 2 010 2 1 0

MBNR A ZAHL W-STEP W-WEIT

M 001: L 0005

MBNR DBNR

M 001: 01

D 001: V0= 50

\*MM: 1

OG:

0047057

0047050

0047182

0047179

0047379

\*MM: 1

OG:

0062128

0061990

0061743

0062067

0062353

\*MM: 1

OG:

0093091

0092830

0092234

0091764

0091787

\*MM: 1

OG:

0112394  
0111697  
0111511  
0110587  
0110833

\*MM : 1  
OG :

0132722  
0132474  
0131416  
0131147  
0130990

\*MM : 1  
OG :

0147203  
0146938  
0146997  
0146032  
0146057

\*MM: 1  
OG:

0167665  
0166480  
0165736  
0165266  
0165675

\*MM : 1  
OG :

0181324  
0180450  
0179310  
0180050  
0179315

三

\*MM : 1  
OG :

10

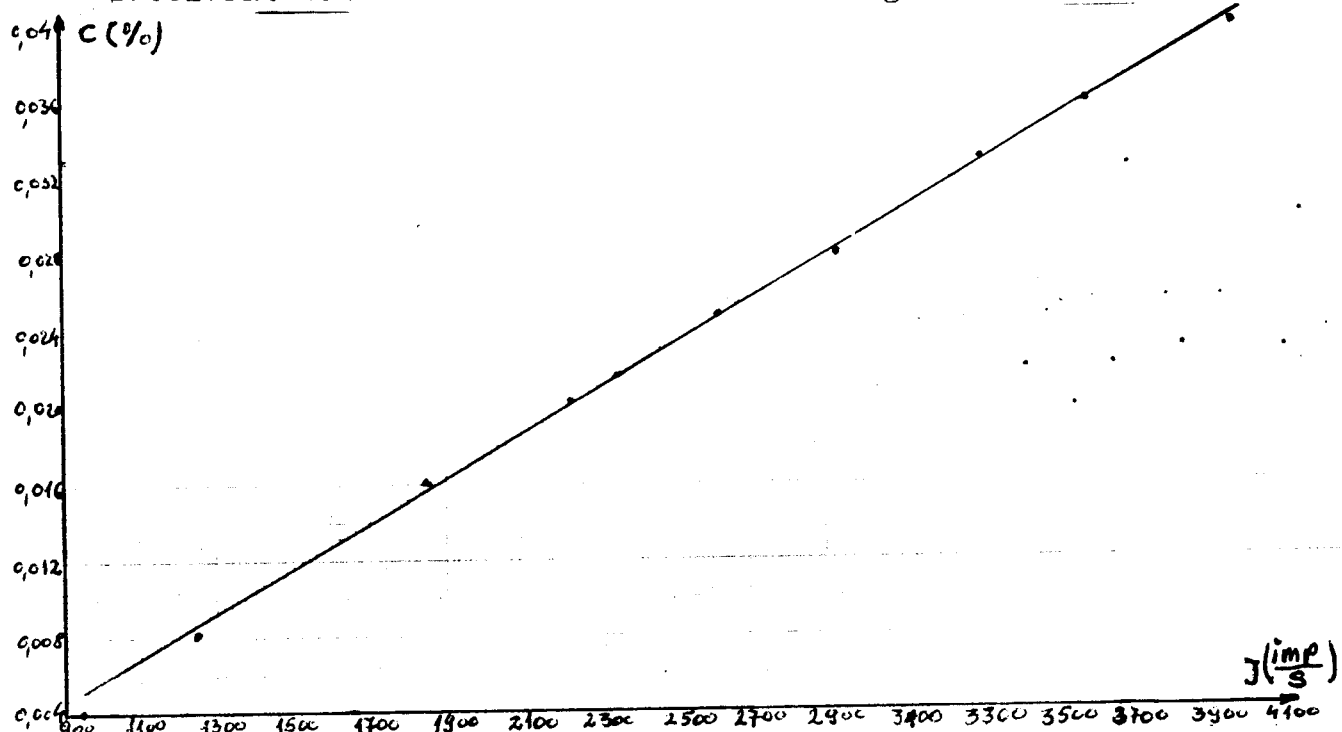
36

0201090  
0199916  
0199862  
0199335  
0197620

Red. br.	C		I
	%	mg/50ml	
1.	0,0040	9,9	943,4
2.	0,0080	19,9	1241
3.	0,0160	39,9	1846,8
4.	0,0205	50,2	2228
5.	0,0248	60,7	2634,9
6.	0,0280	69,9	2932,9
7.	0,0330	82,1	3323,3
8.	0,0360	89,9	3601,8
9.	0,0400	99,9	3991,3

Sl.19

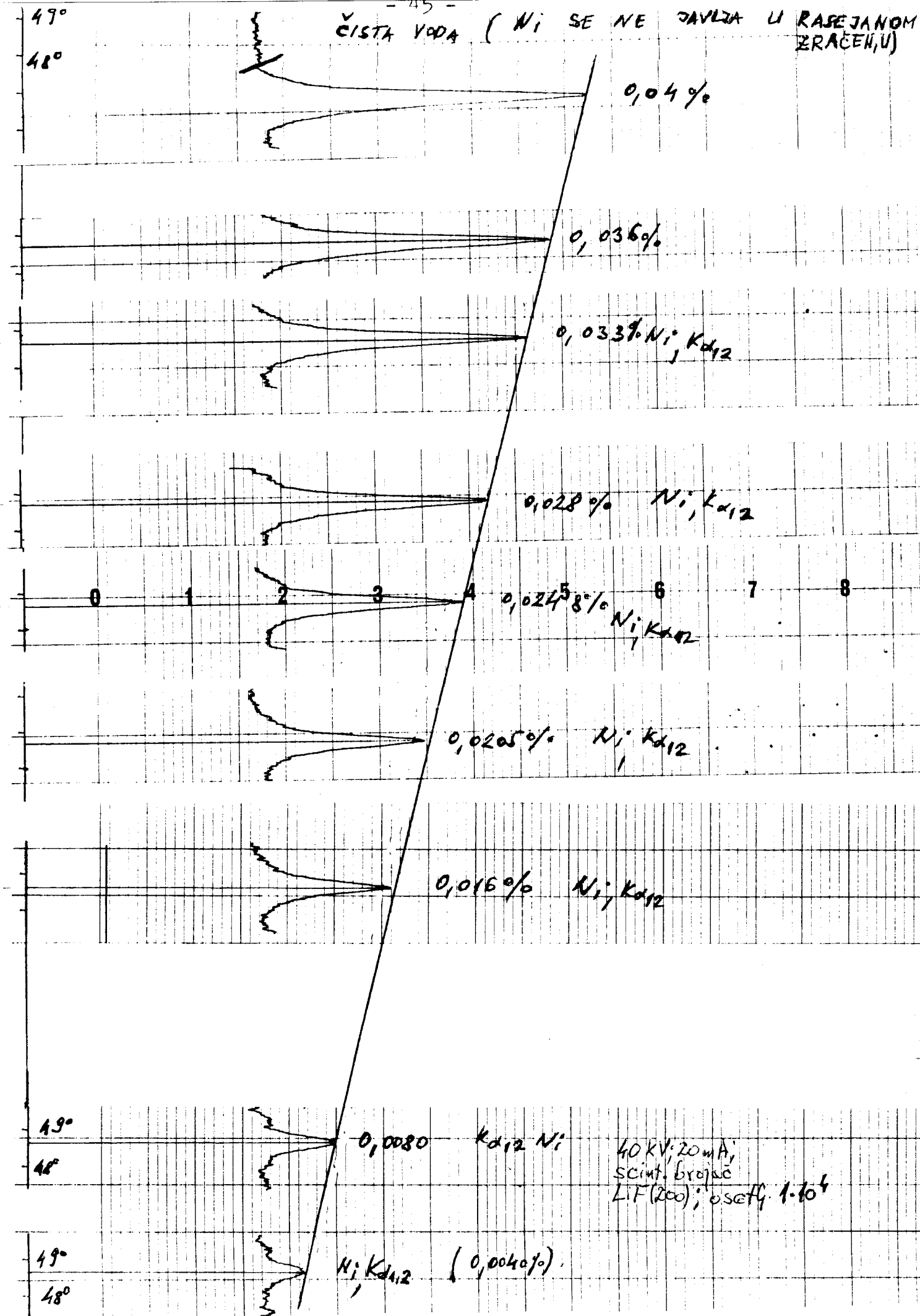
Tabelarne vrednosti za C i I date su i grafički na sl.20.



Sl.20

Sa kalibracione krive  $c = -0,0064 + 1,178 \cdot 10^{-5} I$ , računarom sam dobio da je za odbroj 2634,9 koncentracija 0,0246%; za odbroj 943,4 koncentracija je 0,0047% i za odbroj 3991,3 koncentracija je 0,04% što se skoro poklapa sa zadanim vrednostima (vidi tabelu na sl.19).

Kako su zadane koncentracije rasle približno linearne sa koračkom 0,004, snimanjem pika za svaku koncentraciju htio sam to i vizuelno da proverim. Snimak na sl.21 u potpunosti je potvrdio očekivanja, sa koga se vidi da ukoliko nema primesa drugih elemenata intenzitet pika linearno raste sa koncentracijom.



Isti postupak kao kod nikla sproveden je i kod željeza. Razlika je samo u tome što kod željeza umesto lo imamo samo 6 koncentracija, jer zbog izuzetno malog koraka od 0,0005 i sigurno grešaka u pripremanju tako malih koncentracija dolazilo je do preklapanja odredjenih vrednosti, odnosno broja odbroja. Teleprinterski ispisi za željezo dati su na sl.22, tabelarne vrednosti za c i I na sl.23 i snimak pika na sl.24.

Na osnovu tabelarnih vrednosti za c i I dobijenih za željezo imamo:

$$a_1 = \frac{\frac{m}{m} Ic - I c}{\frac{m}{m} I^2 - (I)^2} = \frac{637,4385 - 4541,7 \cdot 0,049}{63,452.545 - 20,627.039} = 2,37 \cdot 10^{-5}$$

$$a_0 = \frac{c - a_1 \quad I}{\frac{m}{m}} = \frac{0,049 - 2,37 \cdot 10^{-5} \quad 4541,7}{6} = - 0,0098$$

$$\bar{s}^2 = \frac{\frac{c^2 - a_0 \quad c - a_1}{m - 2} \quad Ic}{\frac{m}{m} - 2} = \frac{0,0004085 + 0,0098 \cdot 0,049 - 2,37 \cdot 10^{-5} \cdot 37,42}{4}$$

$$= \frac{1,4}{4} \cdot 10^{-6} = 0,35 \cdot 10^{-6} \quad \bar{s} = 0,592 \cdot 10^{-3}$$

$$C_B = 2 t(\bar{P}, f) \bar{s} = 2 (0,95, 4) 0,592 \cdot 10^{-3} = 0,0033\%$$

\*LB

DBNR OZ 2THETA K C N A VOR D P PWA

D 001: 26 057.50 4 1 1 2 050 2 1 0

MBNR A ZAHL W-STEP W-WEIT

M 001: L 0005

MBNR DBNR

M 001: 01

\*MM: 1

OG:

0034467

0034146

0034305

0034693

0033985

\*MM: 1

OG: x

#2275

\*MM: 1

OG: M#

1 0035350

0035204

0035209

0035269

0035033

\*MM: 1

OG: M#

1 0037869

0037850

0037932

0038193

0038170

\*MM: 1

OG: M

1 0037846

0038380

0038079

0038448

0038517

\*M

\*1

\*MM: 1

OG: M#

1 0039405

0039666

0039644

0040015

0040196

\*MM: 1

OG: M#

1 0041603

0041856

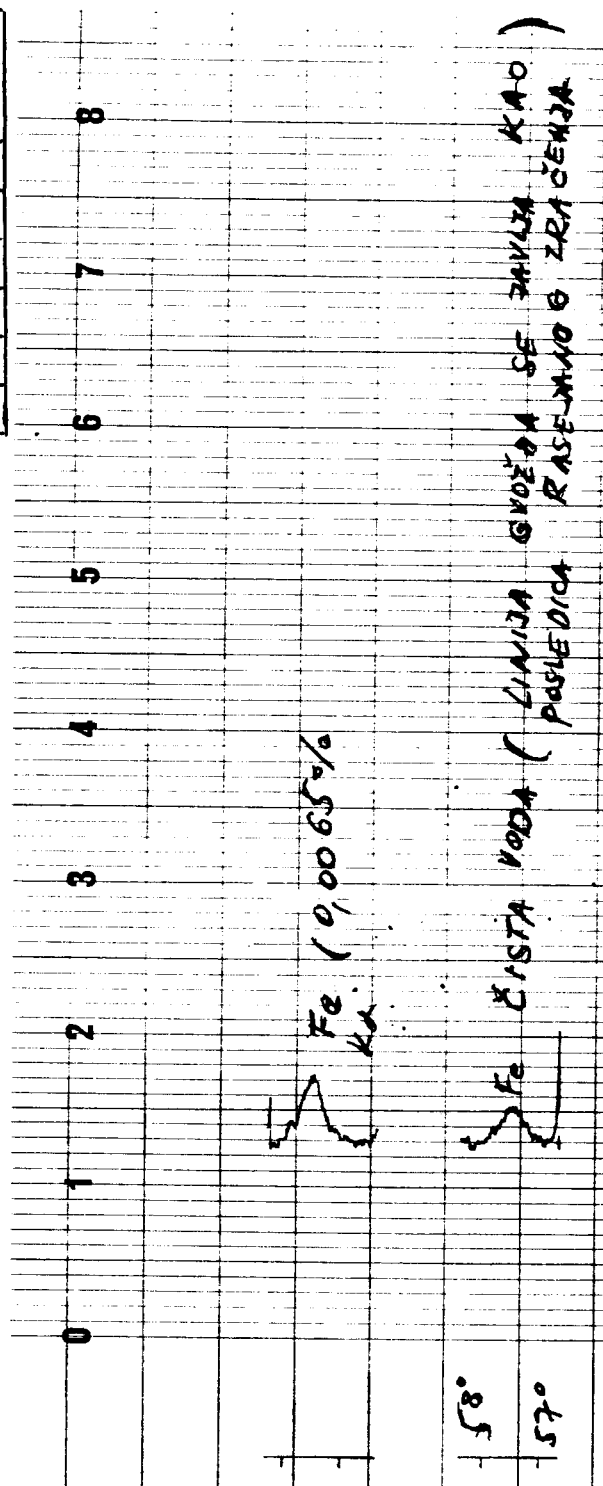
0041008

0041497

0041610

Red. br.	C		I imp/s
	%	mg/20ml	
1.	0,0065	9,4	686,4
2.	0,0070	10,1	704,3
3.	0,0080	11,5	760
4.	0,0085	12,3	765
5.	0,0090	13,0	795,7
6.	0,01	14,4	830,3

Sl.23



Sl.24

Na sl.24 dat je snimak čiste vode, nakome se zapaža rasejano zračenje željeza i snimak najmanje koncentracije vodenog rastvora željeza. Kako je za očekivati da će snimci (pikovi) ostalih koncentracija biti slični ako ne i identični sa snimcima nikla, isti nisu pravljeni.

Cilj ovog rada bio je određivanje minimalne detektibilne koncentracije nekih elemenata (Pb, Fe, Hg, Ba, Cd, Sr, Bi, Ni i Cu) u vodenim rastvorima metodom rendgensko-fluorescentne analize.

Rešavajući postavljeni zadatak dolazio sam do potvrde poznatih fizičkih zakonitosti i do nekih saznanja koja mogu imati praktičnu primenu.

-Izuzimajući barij, kod svih ispitivanih elemenata opada detektibilna koncentracija sa porastom atomskog broja, odnosno energijom karakterističnog zračenja,

-I pored toga što postoji rasejano zračenje željeza (rasejano zračenje drugih ispitivanih elemenata se ne pojavljuje), postoji mogućnost detekcije istog,

-Minimalna detektovana koncentracija željeza uvek je veća od stvarne, upravo zbog prisustva rasejanog zračenja,

-Metodom 36 dobija se niža-preciznija donja granica detekcije nego tzv. metodom "standardne devijacije". Prva metoda je duža-sporija i zahteva merenje kako pika tako i fona, dok se kod druge metode meri samo intenzitet pika.

Dobijene vrednosti koncentracija za pojedine elemente su:

1. Za Fe,  $C=0,005\%$  i  $C_B=0,0033\%$  - metodom "stand.devij."
2. Za Ni,  $C=0,0018\%$  i  $C_B=0,002\%$  - metodom "stand.devij."
3. Za Sr,  $C=0,0015\%$
4. Za Ba,  $C=0,015\%$  i
5. Za Pb,  $C=0,0013\%$

## L I T E R A T U R A

- 1.Röntgenfluoreszenzanalyse, Anwendung in Betriebslaboratorien,  
Von einem Autorenkollektiv unter Federführung von Dr.rer.  
nat.Helmut Ehrhardt, VEB Deutscher Verlag für Grundstoffindu-  
strie, Leipzig, 1981.
- 2.Principles and Practice of X-Ray Spectrometric Analysis. Eugene  
P.Bertin, Plenum Press-New York-London, 1975.
- 3.G.Gottschelh Z.anal.chem. 1975 br.275 i 276.
- 4.Računanje u hemiji, Mr.Slobodan Lomić, Novi Sad, 1984.god.
- 5.Prikladnaja spektrometrija rentgenovskogo izlučenija, R.Volj-  
dset, Moskva 1977.
- 6.Apparatura i metodi fluorescentnogo rentgenoradiometričesko-  
go analiza.C.V.Mamukonjan, Moskva 1976.
- 7.Dušan Popić, Diplomski rad, Novi Sad 1983.